

167838

T.C.
MUĞLA ÜNİVERSİTESİ
FEN BİLİMLERİ ENSTİTÜSÜ

KİMYA ANABİLİM DALI

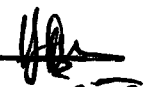
**5-(p-SUBSTITUE FENİLAZO)BARBITÜRİK ASİT TÜREVLERİNİN
SENTEZİ VE BAZI GEÇİŞ METAL KOMPLEKSLERİNİN
ÖZELLİKLERİİNİN İNCELENMESİ**

YÜKSEK LİSANS TEZİ

Bülent KIRKAN

MUĞLA 2005

.....Yrd.Doc..Dr..Ramazan...GÜP.....danişmanlığında
.....Bülent....KIRKAN.....tarafından
hazırlanan bu çalışma ..10./10./2005. tarihinde aşağıdaki juri tarafından Kimya
Anabilim Dalı'nda yüksek lisans tezi olarak oybirliği/oyçokluğu ile kabul edilmiştir.

Başkan	...Prof..Dr..Mansur..HARMANDAR	İmza : 
Üye	...Yrd.Doc..Dr..Ramazan...GÜP....	İmza : 
Üye	...Yrd.Doc..Dr..M.Ali...ÖZLER....	İmza : 
Üye	:.....	İmza :
Üye	:.....	İmza

ÖNSÖZ

Tez konusunun seçiminde, hazırlanmasında ve araştırmaların yürütülmesinde her türlü bilgi ve önerileriyle bana yön veren değerli hocam Yrd. Doç. Dr. Ramazan GÜP'e saygı ve şükranlarımı sunmayı bir borç bilirim.

Çalışmalarım boyunca, ilgi ve desteklerini gördüğüm Muğla Üniversitesi Fen-Edebiyat Fakültesi Kimya Bölümü öğretim üyelerine ve Araştırma görevlisi arkadaşlarına, Adnan Menderes Üniversitesi Fen-Edebiyat Fakültesi Kimya Bölümü Araştırma görevlisi Emrah Giziroğlu'na ve Selçuk Üniversitesi Fen-Edebiyat Fakültesi Kimya Bölümü Araştırma Görevlisi Ziya Erdem KOÇ'a saygı ve teşekkürlerimi sunarım.

Çalışmalarım boyunca manevi olarak desteklerini benden esirgemeyen sevgili eşim Telli hanıma ve aileme çok teşekkür ederim.

Bülent KIRKAN

MUĞLA 2005

İÇİNDEKİLER

	<u>Sayfa No</u>
ÖNSÖZ	II
İÇİNDEKİLER	III
ÖZET	V
ABSTRACT	VI
ŞEKİLLER DİZİNİ	VII
TABLOLAR DİZİNİ	VIII
SEMBOLLER VE KISALTMALAR DİZİNİ	IX
1.GİRİŞ	1
1.1. Diazonyum Tuzları.....	3
1.2. Aktif Alifatik C–H Bileşiklerinin Diazonyum Tuzları ile Kenetlenme Ürünleri.....	7
1.3. Barbitüratlar	10
1.3.1. Barbiturik Asit ve Özellikleri	10
1.3.2. Barbitürük Asitin Asitliği.....	12
1.3.3. Barbiturik Asitin Reaksiyonları	12
2. KAYNAK ÖZETLERİ	17
3. MATERİYAL ve YÖNTEM ..	20
3.1. Kullanılan Maddeler	20
3.2. Kullanılan Aletler	20
3.3. Deneysel Bölüm	21
3.3.1. p- Amino Benzoik Asit Hidrazit Sentezi.....	21
3.3.2. Aromatik Primer Aminlerin Sentezi.....	21
3.3.3. 5-{[[4-(fenil)metilen]hidrazinokarbonil]fenilazo}6-hidroksipirimidine-2,4-dion (HL ₁).....	22
3.3.4. 5-{[[4-(fenil)metilen]hidrazinokarbonil]fenilazo}6-hidroksi-1,3-dimetil pirimidin-2,4-dion HL ₂).....	23
3.3.5. 5-{[[4-(4-hidroksifenil)metilen]hidrazinokarbonil]fenilazo}6-hidroksi pirimidin-2,4-dion (HL ₃).....	24
3.3.6. 5-{[[4-(4-hidroksifenil)metilen]hidrazinokarbonil]fenilazo}6-hidroksi-1,3-dimetil pirimidin-2,4-dion (HL ₄).....	25

3.3.7. HL ₁ Ligandi'nın Cu (II), Ni (II) ve Co (II) kompleksleri'nin Sentezi ([Cu(L ₁) ₂ (H ₂ O) ₂].H ₂ O, [Ni(L ₁) ₂ (H ₂ O) ₂]3.H ₂ O ve [Co(L ₁) ₂ (H ₂ O) ₂]3.H ₂ O).....	26
3.3.8. HL ₂ Ligandi'nın Cu(II), Ni(II) ve Co(II) kompleksleri'nin Sentezi ([Cu(L ₂) ₂ (H ₂ O) ₂].H ₂ O, [Ni(L ₂) ₂ (H ₂ O) ₂]3.H ₂ O ve [Co(L ₂) ₂ (H ₂ O) ₂]3.H ₂ O).....	26
3.3.9. HL ₃ Ligandi'nın Cu(II), Ni(II) ve Co(II) kompleksleri'nin Sentezi ([Cu(L ₃) ₂ (H ₂ O) ₂].H ₂ O, [Ni(L ₃) ₂ (H ₂ O) ₂]3.H ₂ O ve [Co(L ₃) ₂ (H ₂ O) ₂]3.H ₂ O).....	26
3.3.10. HL ₄ Ligandi'nın Cu(II), Ni(II) ve Co(II) kompleksleri'nin Sentezi ([Cu(L ₄) ₂ (H ₂ O) ₂].H ₂ O, [Ni(L ₄) ₂ (H ₂ O) ₂]3.H ₂ O ve [Co(L ₄) ₂ (H ₂ O) ₂]3.H ₂ O).....	27
4. ARAŞTIRMA BULGULARI	28
5. SONUÇLAR ve TARTIŞMA	32
5.1. Erime noktası, Renk ve Verim Bulgularının Değerlendirilmesi.....	32
5.2. Elementel Analiz Bulgularının Değerlendirilmesi.....	33
5.3. Kütle spektrumlarının (LC \ MS) Değerlendirilmesi.....	33
5.4. ¹ H NMR Spektrum Bulgularının Değerlendirilmesi.....	34
5.5. FTIR Spektrum Bulgularının Değerlendirilmesi.....	35
5.6. UV-Vis Spektrumlarının Değerlendirilmesi.....	37
5.7. Magnetik Suszeptibilite Sonuçlarının Değerlendirilmesi.....	39
5.8. Ligandlar ve Kompleksler İçin Önerilen Yapılar.....	40
5.8.1. Ligandların Yapıları.....	40
5.8.2. Komplekslerin Yapıları.....	40
KAYNAKLAR	42
ÖZGEÇMİŞ	47
EKLER.....	48
I.Ligandların ve Komplekslerin UV-Vis Spektrumları	48
II. Ligandların ve Komplekslerin FT-IR Spektrumları.....	50
III. Ligandların ve Komplekslerin UV-Vis Spektrumları	54
IV. Ligandların LC/MS Spektrumları.....	58

**5-(p-SUBSTITUE FENİLAZO)BARBITÜRK ASİT TÜREVLERİNİN
SENTEZİ VE BAZI GEÇİŞ METAL KOMPLEKSLERİNİN
ÖZELLİKLERİİNİN İNCELENMESİ**
(Yüksek Lisans Tezi)

Bülent KIRKAN

**MUĞLA ÜNİVERSİTESİ
FEN BİLİMLERİ ENSTİTÜSÜ
2005**

ÖZET

Bu çalışmada, barbitürk asit ve p-aminobenzoik asit hidrazon içeren dört yeni azo bileşiği, 5-{{[4-(fenil)metilen]hidrazinokarbonil]fenilazo}6-hidroksipirimidin-2,4-dion (HL₁), 5-{{[4-(fenil)metilen]hidrazinokarbonil]fenilazo}6-hidroksi-1,3dimetilpirimidin-2,4-dion(HL₂),5-{{[4-(4-idroksifenil)metilen] hidrazinokarbonil] fenilazo}6-hidroksipirimidin-2,4-dion (HL₃), 5-{{[4-(4-idroksifenil)metilen] hidrazinokarbonil]fenilazo}6-hidroksi-1,3dimetilpirimidin-2,4-dion (HL₄), p-aminobenzoik asit [(fenil/4-idroksifenil)metilen]hidrazitin aril diazonyum tuzlarının, barbitürk asit ve 1,3 dimetil barbitürk asit ile 0-5 °C'de pH 9-10'da kenetlenmesiyle elde edilmiştir. Daha sonra elde edilen bu ligandların Cu(II), Ni(II) ve Co(II) klorür tuzlarıyla metal-ligand oranı 1:2 olan geçiş metal kompleksleri sentezlendi.

Sentezlenen ligandların ve metal komplekslerinin yapıları elementel analiz, IR, ¹H NMR, LC/MS, UV-Vis, atomik absorpsiyon spektroskopisi ve magnetik süssebtibilite teknikleri kullanılarak aydınlatılmıştır.

Anahtar Kelimeler: Barbitürk Asit, 1,3 Dimetil Barbitürk Asit, metal kompleksleri, Diazolama, Azo boyaları, Diazo bileşiği

Sayfa adedi: 69

Tez Yöneticisi: Yrd. Doç. Dr. Ramazan GÜP

**SYNTHESIS OF DERİVATİVES OF 5-(p-SUBSTITUE FENİLAZO)
BARBITURİC ACID AND İNVESTİGATION OF PROPERTİES OF SOME
TRANSİTİON METAL COMPLEXES**

(M. Sc. Thesis)

Bülent KIRKAN

MUGLA UNIVERSITY

INSTITUE OF SCIENCE AND TECHNOLOGY

2005

ABSTRACT

In this study, four new azo dyes containing barbituric acid and p-aminobenzoic acid hydrazone, 5-{[[4-(phenyl)methylene]hydrazinocarbonil]phenylazo}6-hydroxypyrimidine-2,4-dion (HL_1), 5-{[[4-(phenyl)methylene]hydrazinocarbonil]phenylazo}6-hydroxy-1,3dimethylpyrimidine-2,4-dion (HL_2), 5-{[[4-(4-hydroxyphenyl)methylene]hydrazinocarbonil]phenylazo}6-hydroxypyrimidine-2,4-dion (HL_3), 5-{[[4-(4-hydroxyphenyl)methylene]hydrazinocarbonil]phenylazo}6-hydroxy-1,3dimethylpyrimidine-2,4-dion (HL_4), were synthesized in order to synthesis of azo compounds, the diazonium salts of p-aminobenzoic acid [(phenyl/ p-hydroxyphenyl)methylene]hydrazide were reacted with barbituric acid and 1,3 dimethyl barbituric acid at 0-5 °C. The pH of reaction mixture was maintained within 9-10 during coupling.

Then, the complexes of diazonium ligands were synthesized by reacting Cu(II), Ni(II) and Co(II) chloride salts with azo-dyes in methanolic solution. The stoichiometries of the complexes are (1:2) (M:L).

The structures of both ligands and complexes were characterized by elemental analysis, IR, 1H NMR, LC/MS, UV-Visible, atomic absorption spectroscopy and magnetic susceptibility measurements.

Key Words: Barbituric Acid, 1,3 Dimehtyl Barbituric Acid, metal complexes, Diazotisation, Azo dyes, Diazo component

Page Number : 69

Adviser : Yrd.Doç.Dr. Ramazan GÜP

SEKİLLER DİZİNİ

<u>Sekil No</u>	<u>Sayfa No</u>
Şekil 1.1. Aril diazonyum tuzlarının kentlenme ürünlerinin azo-enol yapısı.....	8
Şekil 1.2. Asetaldehidfenil hidrazonu (A) ve benzenazoetan (B).....	9
Şekil 5.1. Enolik OH protonlarının molekül içi hidrojen bağı.....	34
Şekil 5.2. HL_3 ve HL_4 Ligandların aromatik halka protonları.....	35
Şekil 5.3. Ligandların barbitürik asit kısımlarındaki keto-enol tautomerisi	35
Şekil 5.4. Ligandların hidrazon kısımlarındaki keto-enol tautomerisi.....	36
Şekil 5.5. Ligandların azo ve hidrazon formları.....	38
Şekil 5.6. Ligandlar için önerilen yapı	40
Şekil 5.7. Cu(II) Kompleksleri için önerilen yapı.....	40
Şekil 5.8. Co(II) ve Ni(II) Komplekslerinin önerilen yapıları.....	41

TABLOLAR DİZİNİ

<u>Tablo No</u>	<u>Sayfa No</u>
Tablo.1.1. Bazı barbitürik asit türevleri (kullanım alanları).....	11
Tablo 4.1 Ligandların ve komplekslerinin bazı fiziksel ve kimyasal özelliklerİ	28
Tablo 4.2 Ligandların ve komplekslerin elementel analiz sonuçları.....	29
Tablo 4.3.Ligandların ve komplekslerinin bazı karakteristik IR değerleri(cm^{-1}).....	30
Tablo 4.4. Ligandların DMSO-d ₆ 'deki ¹ H NMR spektrum değerleri, δ (ppm)	31

SEMBOLLER ve KISALTMALAR DİZİNİ

NMR Spektroskopisi : Nükleer Manyetik Rezonans Spektroskopisi

IR Spektroskopisi : Infrared Spektroskopisi

UV Spektroskopisi : Ultra Viyole Spektroskopisi

MS Spektroskopisi : Kütle Spektroskopisi

DMSO : Dimetil Sülfoksit

DMF : Dimetil Formamid

DTA : Diferansiyel Termal Analiz

1. GİRİŞ

Organik ve inorganik bileşiklerin kaynaşması ile meydana gelen koordinasyon bileşikleri, bu iki bilim dalı arasındaki sınırı ortadan kaldırmıştır. Bir metal iyonunun, elektron verici gruplar ile bağ oluşturması sonucu meydana gelen maddelerin, konfigürasyonlarının ve yapılarının aydınlatılması, bu araştırma sahasında önemli bir yer tutmaktadır.

Koordinasyon bileşikleri ile ilgili ilk modern teoriler Alfred Werner tarafından ortaya atılmıştır (Huheey, 1972). Werner koordinasyon teorisile kompleks bileşiklerin bir çok özelliklerini açıklamıştır. Bileşikleri bir arada tutan kimyasal bağlara Pauling tarafından kuantum mekaniğinin uygulanmasıyla valans bağ teorisi doğmuştur (Bekaroğlu, 1990). Bu teori; komplekslerin sadece hibrit türü ve geometrisiyle ilgilenir. Metallerin ve elektronların elektriksel alandaki davranışlarını göz önüne almaz. Daha sonra kristal alan teorisi ve molekül orbital teorisinin de gelişmesiyle koordinasyon bileşiklerindeki bağlanma, komplekslerin elektronik spektrumlarındaki yük transfer olayları ve diğer yapısal özelliklerin izahı mümkün olmuştur (Griffith vd., 1957). Spektroskopik yöntemlerin gelişmesi ve bu alanda kullanılması da çalışmalara büyük katkı sağlamıştır (Huheey, 1972).

Literatürde kompleks bileşiklerin birçok özelliği incelenmektedir. Bunlardan bazıları, biyoaktif, yarıiletken, süper iletken, manyetik özelliklerdir. Özellikle çeşitli metal komplekslerin canlı organizmadaki etkinliğinin tespit edilmesi bu bileşiklere olan ilgiyi artırmaktadır. Vücutta biriken zararlı maddelerin atılmasında, kanser tedavisinde koordinasyon bileşiklerinden faydalanjılır. Donör atomlara sahip moleküllerin geçiş metalleri ile meydana getirdikleri komplekslerin boyar madde ve ilaç kimyası gibi pek çok alanda kullanılması, bu bileşiklerin önemini daha da artırmaktadır. (Bekaroğlu, 1972). Alışilmiş silis türü yarıiletkenlerin üzerleri bu kompleks maddelerle boyanarak verimleri iki-üç kat artırılabilmektedir (Ian vd., 1987; Richard, 1985; Moser, 1991).

Bazı kompleksler sıcaklıkla değişebilir iletken özellik kazanmaktadır. Bir sıcaklık aralığında yalıtkan olan kompleks, bir başka sıcaklıkta yarı iletken, iletken veya süper iletken özelliklere sahip olabilmektedir (Masoud vd., 1986).

Barbitürik asit türevleri çok uzun yillardır üzerlerine çok yoğun çalışmaların yapıldığı bir bileşik sınıfıdır. Basit olarak dietil malonat ile tirenin kondenzasyonu ile sentezlenir (Tüzün, 1996).

Barbitürik asit tıbbi açıdan çok önemli bir yere sahiptir. Eskiden bu yana hipnotik, anestezik, sakinleştirici olarak kullanılan barbitürik asit türevi içeren ilaçların, anti-tümör ve anti-osteoporosis etkilerinin varlığı son yapılan çalışmalarda ortaya konulmuştur (Douelle, 2003). Ayrıca nitrofenilhidrazon içeren barbitürik asit türevlerinin anti-kanserojen etkileri ile ilgili çalışmalar yapılmış ve anti-kanserojen ilaç olarak kullanılabilirliği üzerine çalışmalar devam etmektedir (Jursic, 2002).

Barbitüratlarda merkezi sinir sisteminde etkili olan yatiştirıcı ilaç gurupları vardır. Sübstütie olmayan barbitürik asit tek başına merkezi sinir sistemi üzerinde yatiştirıcı aktiviteye sahip değildir. Fakat barbitürik asitte 5 pozisyonundaki hidrojen atomlarının ikisi de depresyon sonucunda organik guruplarla yer değiştirmesi ile yatiştirıcı aktivite gösterir (Chandra vd., 1991). Barbitürik asit ve barbitürik azo türevlerinin belirgin biyolojik özelliklere sahip olması nedeniyle diaril azo gurubu içeren barbitürik asitleri sentezlemeye yönelik çalışmalar artmıştır. Bu guruplara sahip bileşikler antifungallar ve boyaların biyolojik sistemlerinin modellerindeki kullanımı için çok dikkate değer özellikler kazandırırlar (Masoud, 1987).

Barbitürik asidin çeşitli donör gruplar içeren türevleri ile biyolojik olarak aktif metal kompleksleri sentezlenmiştir. Ayrıca doğada az bulunan yttriyum ve toryum gibi elementlerin spektrofotometrik olarak tayin edilmesinde reaktif olarak kullanılması ile ilgili çalışmalar yapılmaktadır (Amin, 2001).

Schiff baz hidrozonları analitik kimyada seçici metal ekstraksiyonuna ilaveten bazı geçiş metallerinin spektroskopik kararlılıklarında yaygın olarak kullanılmaktadır. Salisilaldehit benzoil hidrazonunun Cu(II) kompleksi DNA sentezi ve hücre gelişiminin güçlü inhibitörü olarak görülmüştür. Hidrazonelar orta derecede

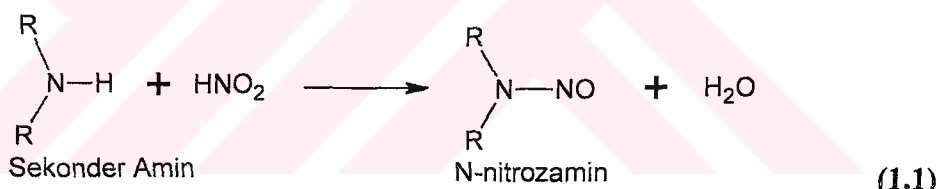
bakteriostatik aktiviteye sahiptir ve talesemi gibi genetik düzensizlikler için potansiyel oral demir bağlayıcı ilaçlar olarak araştırılmaktadır.

Hidrazon türevleri antimikroiyal, antitüberküler, anticonvulsant ve anti-inflammotory aktivitelere sahip olduğu bilinir. Antitüberküler ve antibakteriyel etkileri çeşitli p-amino benzoik asit hidrazin aril hidazonları göstermektedir (Komurcu vd., 1994).

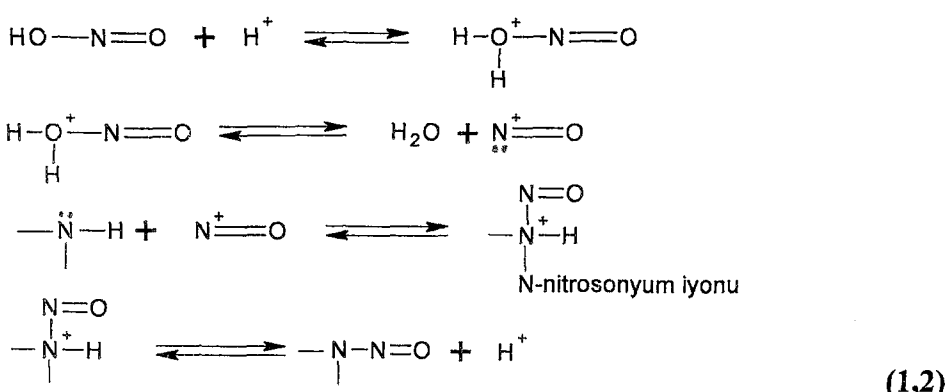
1.1. Diazonyum Tuzları

Aminler ile nitröz asit arasındaki reaksiyon, aminin primer, sekonder, tersiyer, alifatik ve aromatik oluşuna göre değiştiğinden, organik kimyanın ilginç reaksiyonları arasında yer alır. Bu nedenle, aromatik primer aminlerin nitröz asitle oluşturduğu diazonyum tuzlarına degenmeden önce diğer aminlerin HNO_2 ile oluşturduğu ürünlere ilişkin kısa genel bilgiler vermek yerinde olacaktır.

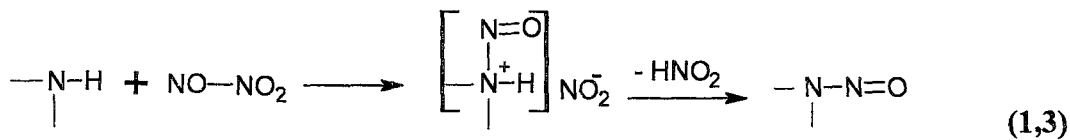
Alifatik ve aromatik sekonder aminlerin nitröz asidle reaksiyon ürünü (Reaksiyon 1,1), N-nitrozo bileşikleridir:



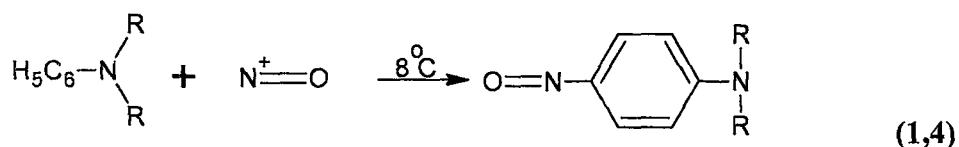
Nitroz amin oluşumu bazı araştırmacılara göre $\overset{\ddagger}{\text{N}}=\text{O}$ üzerinden yürürlü (Reaksiyon 1,2) :



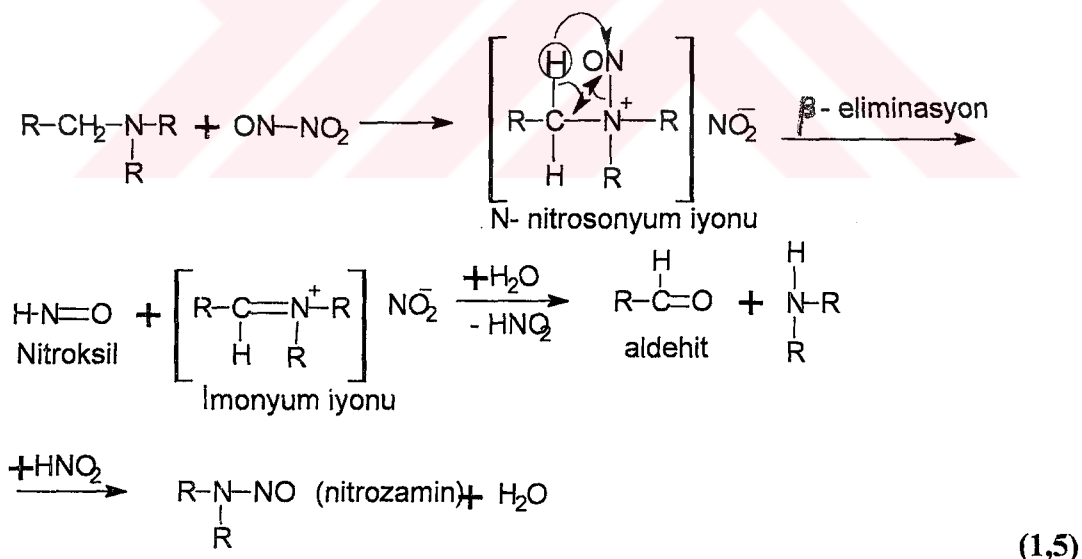
Nitrozamin oluşumunun ^+NO yerine ON-NO_2 üzerinden yürüdüğü benimsenirse, bu oluşum şu şekilde formüllendirilebilir (Reaksiyon 1,3).



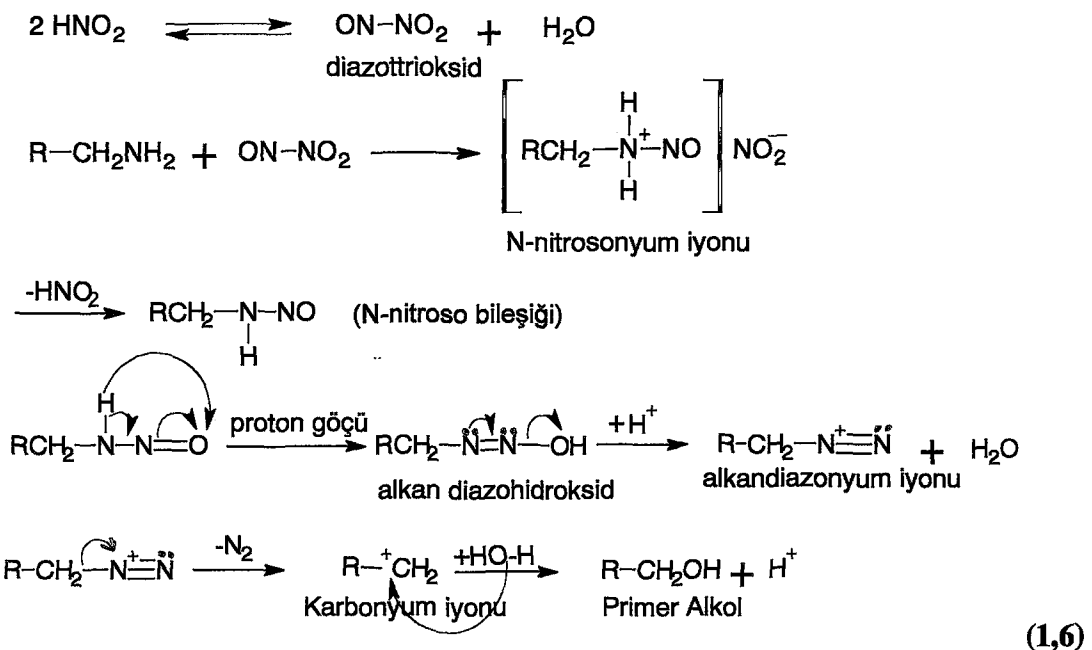
Aromatik tersiyer aminlerde azot üzerinde hidrojen bulunmadığından, HNO_2 ile $>\text{N-N=O}$ oluşmaz; ancak orta kuvvette bir elektrofil olan nitrozonyum iyonu (^+NO), aromatik halkanın para konumundan sübstansiyon yapabilir (Reaksiyon 1,4).



Alifatik tersiyer aminlerle, nitröz asit arasındaki reaksiyon, pH 3-6 arasında ve sıcakta yürütülürse aldehit ve sekonder amin oluşur. Burada da ilk ürün olarak N-nitrozonyum iyonu meydana gelir (Reaksiyon 1,5).



Alifatik primer aminlerle nitröz asit arasındaki reaksiyon asidik ortamda yürü ve alkol meydana gelir. Bazı araştırmacılar, bu reaksiyonda etkin rol oynayan komponentin, diazot trioksit olduğunu kabul eder (Reaksiyon 1,6).

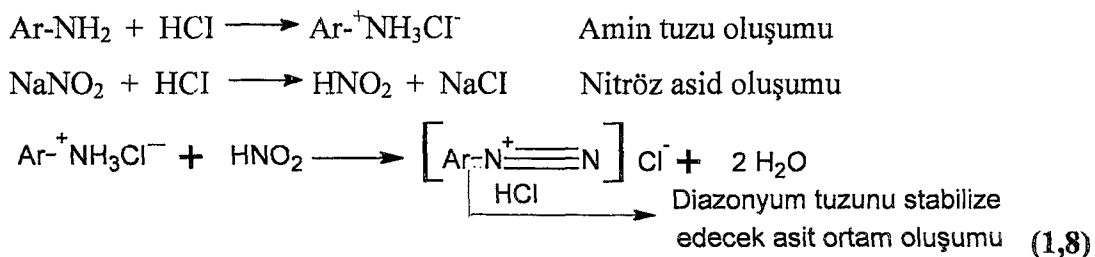


Nitröz asitin primer aromatik aminlerle verdiği reaksiyon ürünleri, arildiazonyum tuzlarıdır. Çalışmamızın ana maddelerinden olan bu tuzlar, ilk kez Griebs (1860) tarafından bulunmuştur. İyonik yapıları nedeniyle suda çözünebilen aril diazonyum tuzları, dayanıklı olmayan yapılardır; bu nedenle soğuk ortamda oluşturulur ve gereken reaksiyon, bu ortamda yürütülür. Bununla birlikte, aromatik amin tuzunun etanollu çözeltisini bir alkil nitrit ile etkileştirmek ve oluşan ürünü eterden kristallendirmek ya da eter içine dökerek katılaştmak yoluyla, aril diazonyum tuzu katı halde de kazanılabilmektedir. Çözücü olarak glasiyel asetik asit, bazı durumlarda da dioksan kullanılır (Schoutissen, 1921) ve bu sonuncu reaksiyon, şu şekilde formüllendirilebilir (Reaksiyon 1,7):

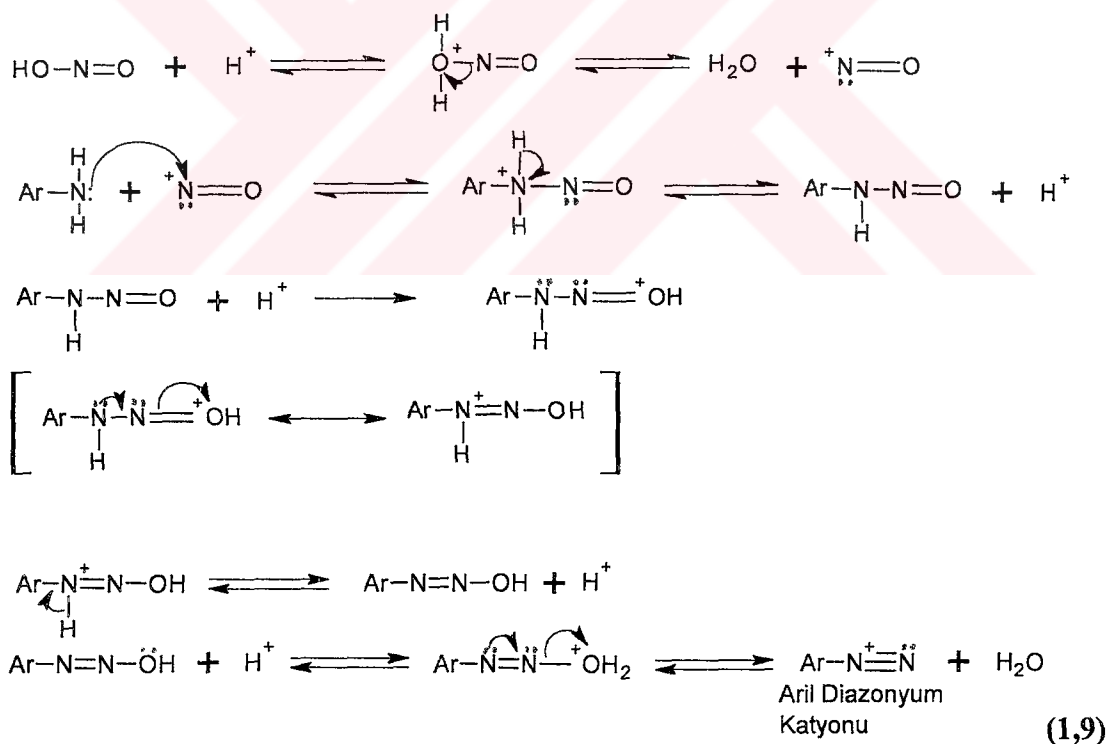


Arildiazonyum tuzlarının oluşmasında, bir mol amine karşı üç mol asit gerekmekte ve bu miktarın bir molu amini tuz haline geçirmek, bir molu sodyum nitritten HNO_2 açığa çıkarmak, üçüncü ise diazonyum tuzunu stabilize etmek için kullanılmaktadır. Pratikte üç ekivalen asit içeren suda, bir ekivalen amini çözmek ve karışımı $0-5^\circ\text{C}$ ye soğuttuktan sonra sodyum nitritin soğutulmuş sulu çözeltisi ile

muamele etmek suretiyle uygulanan bu işlem şu şekilde formüllendirilebilir (Reaksiyon 1,8):

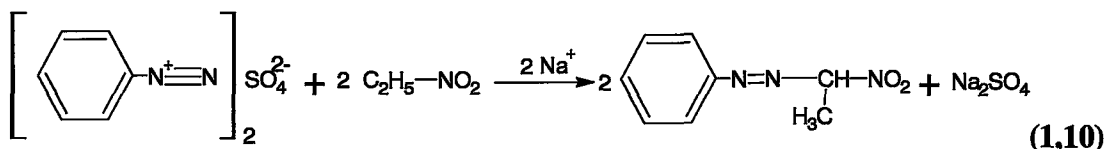


Aromatik primer aminlerin nitröz asitle verdikleri reaksiyonun mekanizması, bazı araştırmacılara göre alifatik primer aminlerinkine benzemekte ve diazot trioksit (ON-NO_2) üzerinden, soğukta ve asidik pH'da yürüyen bu reaksiyonda arildiazonyumkatyonu ($\text{Ar-N}^+ \equiv \ddot{\text{N}}^-$) stabilize olmaktadır. Bazı araştırmacılar ise diazolama reaksiyonunun $\ddot{\text{N}}=\text{O}$ aracılığı ile yürüdüğünü belirtmekte ve diazolama mekanizmasını söyle göstermektedir (Reaksiyon 1,9).



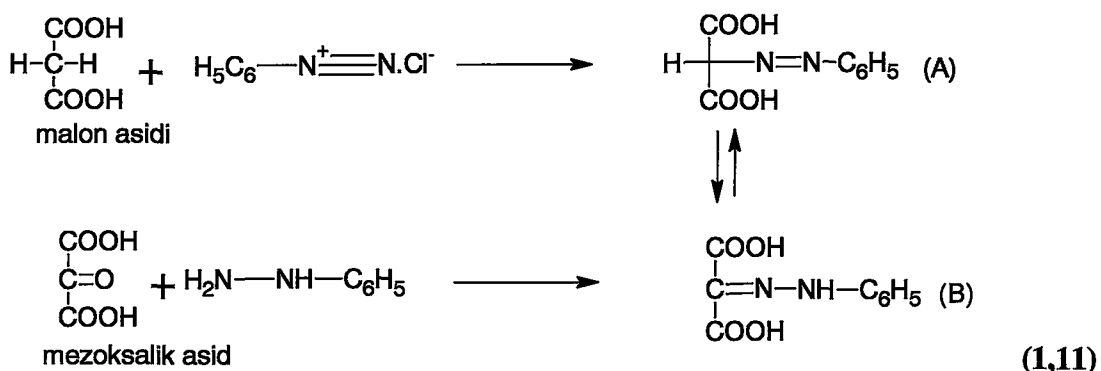
1.2. Aktif Alifatik C-H Bileşiklerinin Diazonyum Tuzları ile Kenetlenme Ürünleri

Meyer (1875)'in benzendiazonyum sülfat ve nitroetanı reaksiyona sokarak bir azo bileşigi elde ettigini bildiren çalışması, arildazonyum ile aktif alifatik C-H bileşiklerinin kenetlenmelerine ilişkin ilk literatürü oluşmuştur (Reaksiyon 1,10);



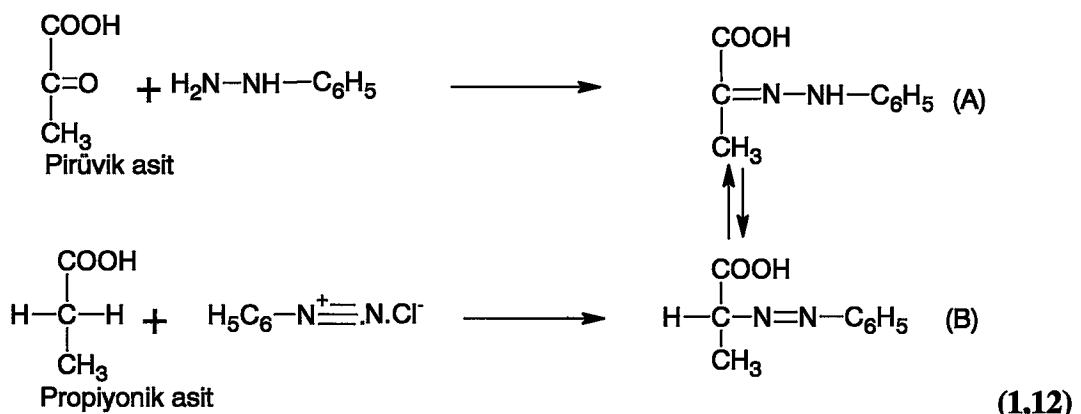
Bu bulguyu, diğer bazı nitroparafinlerin (Meyer, 1875; Meyer, 1876; Friese, 1875; Züblin, 1877) ve ayrıca etil asetoasetatin (Meyer, 1877; Züblin, 1878) arildazonyum tuzları ile kenetlenmelerini konu alan çalışmalar izlemiştir.

Gerek Meyer, gerekse onunla aynı dönemde bu konu ile ilgilenen diğer araştırmacılar, kenetlenme sonucu oluşan maddelerin $-\text{N}=\text{N}-$ grubu taşıdıklarına inandıklarında, yapı aydınlatılmasına pek önemmemiştir. Fakat Meyer'in, benzendiazonyum klorür malon asidi arasındaki kenetlenme reaksiyonundan oluşan madde (A) ile mezoksalik asid ve fenilhidrazinden elde edilen maddenin (B) aynı özelliklere sahip olduğunu bildirmesi üzerine Meyer (1888) (A) ile (B) nin yapı bakımından da aynı olduğunu ve bu durumun, iki formülden birinde bir hidrojen kaymasından kaynaklandığını belirtmiştir (Reaksiyon 1,11).

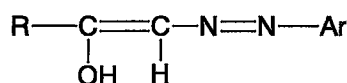


Bu alanda yaptıkları araştırmalarla kimya literatürüne kendi adları ile anılan reaksiyonuarmağan etmiş olan Japp ve Klingemann da (Japp ve Klingemann, 1887) yaptıkları bir çalışma sonucunda R. Meyer'inkine benzer bir bulguyu ortaya

koymuşlar ve Fischer ile Jourdan'ın pirüvik asit ile fenil hidrazinden elde etmiş oldukları maddenin (A), kendilerini propiyonik asiti benzendiazonyum klorür ile kenetleyerek hazırladıkları madde (B) ile her yönden aynı olduklarını göstermişlerdir (Reaksiyon 1,12).



Böylece arildiazonyum tuzları ile aktif alifatik hidrojen bileşikleri arasındaki reaksiyondan oluşan ürünlerin hangi yapıya sahip bulundukları konusu, bir tartışma ortamının doğmasına neden olmuş ve bu bağlamda Beyer ve Claisen (Beyer ve Claisen, 1888), aktif C-H bileşiği olarak seçtikleri aseton, benzendiazonyum klorür ile kenetleyerek kazandıkları maddenin hidrazon yapısı taşıdığını, ancak bu bulguyu genellemenin doğru olmayacağıını belirtmişlerdir. Daha sonraki yıllarda Bülow ve Ganghofer (1904) adlı araştırmacılar da bu konu ile ilgilenmişler ve karbonil grubu tarafından aktive edilmiş C-H bileşiklerinin aril diazonyum tuzları ile kenetlenme ürünlerinin genellikle hidrazon yapısında olduklarını, eğer aktif hidrojen bileşliğinin karbonil oksijeni üzerine kayabilecek bir hidrojeni varsa reaksiyon ürününün azo-enol yapısı taşıyacağını söylemişlerdir (Şekil.1.1).



Şekil.1.1. Aril diazonyum tuzlarının kentlenme ürünlerinin azo-enol yapısı

Kenetlenme ürününün yapıları ile ilgili olarak 1880'li yıllarda başlatılan tartışmanın, 1930'lu yıllara gelindiğinde hala sonuçlanmadığı ve örneğin Favrel (1930)'in bu konu ile yakından ilgilendiği görülmektedir. Favrel, bir hidrojeni alkil

gurubu ile sübstitüe edilmiş asetoasetik-, malonik- ve siyano- astik asitleri alarak bunları arildiazonyum tuzları ile kenetlemiş ve reaksiyonun üç evreli olarak yürüdüğünü, ilk iki evrede azo bileşiklerinin olduğunu, üçüncü evrede ise azo bileşiklerinin molekül içi bir değişme sonucunda hidrazon şekline tautomerize olduğunu bildirmiştir.

Yapı aydınlatılması çalışmalarında UV bulgularından yararlanmayı düşünen araştırmacılarından Stevens ve Ward (Stevens ve Ward, 1924), asetaldehidfenil hidrazonu (A) ile benzenazoetanın (B) (Şekil 1.2.) UV spektrumlarını karşılaştırmışlar ve (B) nin (A) ile aynı yapıda olduğunu; Fodor ve Szorvas da (Fodor ve Szorvas, 1943) aynı konuda yaptıkları bir çalışmanın UV bilgilerine dayanarak, kenetlenme ürününü hidrazon formu taşıdığını saptamışlardır.



(A)



(B)

Şekil.1.2. Asetaldehidfenil hidrazonu (A) ve benzenazoetan (B)

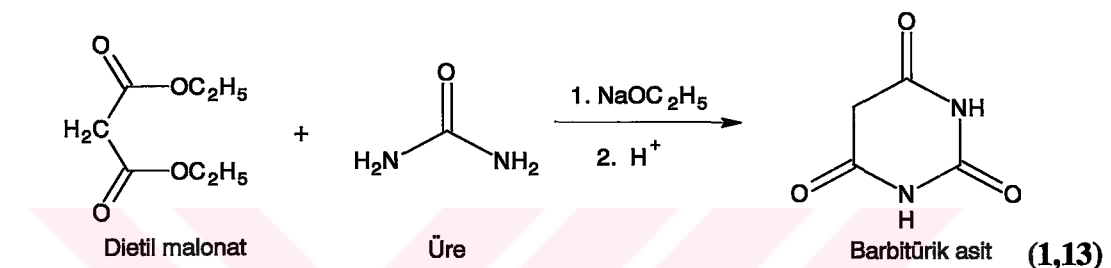
Aril diazonyum tuzlarının, aktif alifatik C-H komponentleri ile kenetlenme ürünlerinin yapısı için literatür kaynaklarına (Ergenç, 1975; Ergenç, 1976; Ergenç, 1980; Ergenç, 1981) dayanarak aşağıdaki saptamalar yapılabilir:

- a) Aktif hidrojen komponentinde kenetlenme metil (-CH₃) ya da metilen (-CH₂-) karbonu üzerinden yürüse ürün, hidrazon, >C=N-NH- yapısındadır.
- b) Arildiazonyum tuzu, bir metinil (-CH-) karbonu ile kenetlendiği taktirde azo, C-N=N-, yapısı meydana gelir.
- c) Aktif hidrojen komponenti metinil (-CH-) şeklinde olmakla birlikte, atanabileceği uygun bir gruba sahip bulunuyorsa, bir Japp-Klingemann (Japp-Klingemann, 1887) reaksiyonu yürüyecek ve son ürün yine hidrazon yapısı taşıyacaktır.

1.3. Barbitüratlar

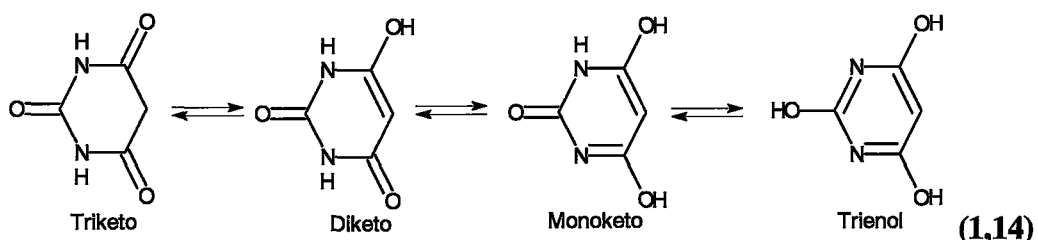
1.3.1. Barbitürik asit ve özellikler

Bu çalışmada diazonyum tuzlarının kenetlenmelerinde reaksiyonu başlatan ve yönlendiren aktif alifatik C-H komponentine sahip bileşik olarak barbitürik asit kullanılmıştır. Aktif alifatik C-H bileşiklerinin en önemli özellikleri asit karakter göstermeleridir.



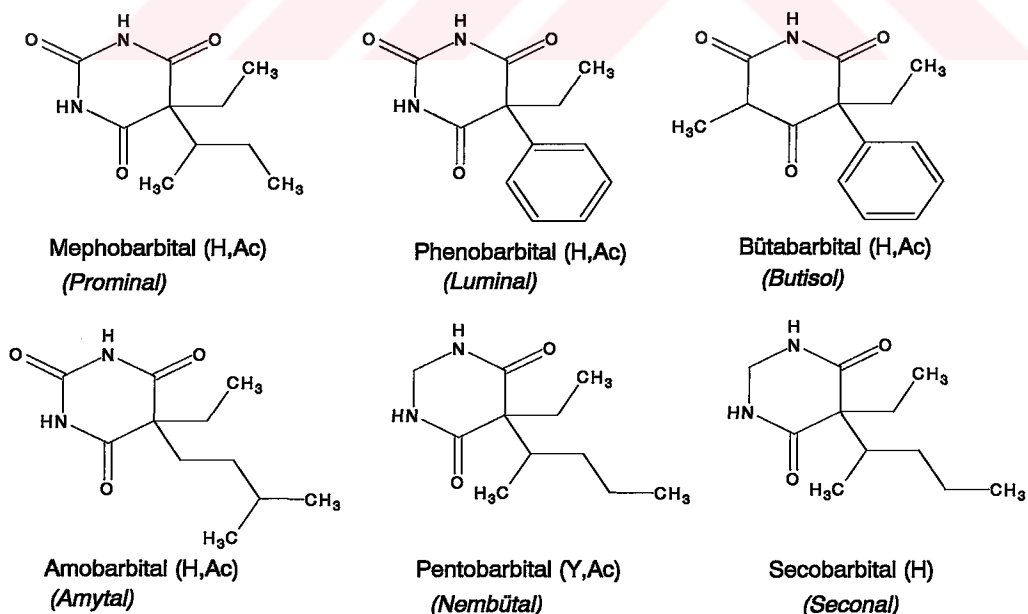
Barbitürik asit erime noktası 252–253 °C olan suda ve sıcak alkolde çözünen asetik asitten daha kuvvetli asitlige sahip ($pK_a = 4.01$) beyaz renkli kristalli bir bileşiktir. Temel olarak dietil malonat ve ürenin kuvvetli bazik ortamda kondensasyonu yoluyla sentezlenir (Reaksiyon 1,13), (Vogel, 1989).

Bu sentez ilk defa 1864 yılında Adolf Von Bayer tarafından gerçekleştirilmişdir. Bir bayan ismi olan barbara ile üre kelimelerinin birleşmesi ile oluşmuş barbiturate adı kabul görmüş ve yaygın bir şekilde kullanılmaktadır. Ama sistematik olarak pirimidin-2,4,6-(1H,3H,5H)-trion olarak isimlendirilir. Adolf Von Bayer daha sonraki yıllarda Organik Kimya alanında Nobel ödülü almıştır (Westhorpe ve Ball, 2002). Barbitürik asit tautomerlik gösterir. Bu sayede triketo, diketo, monoketo ve trienol şeklinde bulunabilir (Reaksiyon 1,14), (Tüzün, 1989).



Barbitürik asit tıbbi açıdan inerttir. Sentezi yapıldıktan sonra uzun yıllar pek ilgi çekmemiştir ve üzerine yoğun bir çalışma yapılmamıştır. 1882 yılında Alman Kimyacı Hermann Emil Fischer 5,5 dietil barbitürik asiti (veronal) sentezlemiştir. Bu bileşik üzerine yapılan çalışmalar sonucu sakınleştirici özelliği bulunmuş ve uzun yıllar bu amaçla kullanılmıştır. Bu ve benzeri tıbbi özelliklerinin keşfedilmesinden sonra barbitüratlar üzerine çok sayıda çalışma yapılmıştır. Temel moleküle bağlı bulunan hidrokarbon zincirini değiştirerek yeni barbitürat molekülleri oluşturulmuş ve moleküle farklı etkinlikler kazandırılmıştır. Örneğin alkil zinciri beş karbondan daha uzunsa hypnotik aktivitenin azaldığı bunun yanında konvulsant aktivitenin arttığı görülmüştür. Yağdaki çözünürlüğü artırıcı grupların varlığının hypnotik aktiviteyi artırıcı etki gösterdiği görülmüştür. (Westhorpe ve Ball, 2002). Ayrıca barbitüratların anti-tümör (Gulliya, 1999) ve anti-osteoporosis (Sakai ve Satoh, 2000) etkileri de tespit edilmiştir. Tıbbi açıdan yaygın olarak kullanılan bazı barbitürik asit türevleri ve kullanım alanları Tablo 1.1.'de verilmektedir.

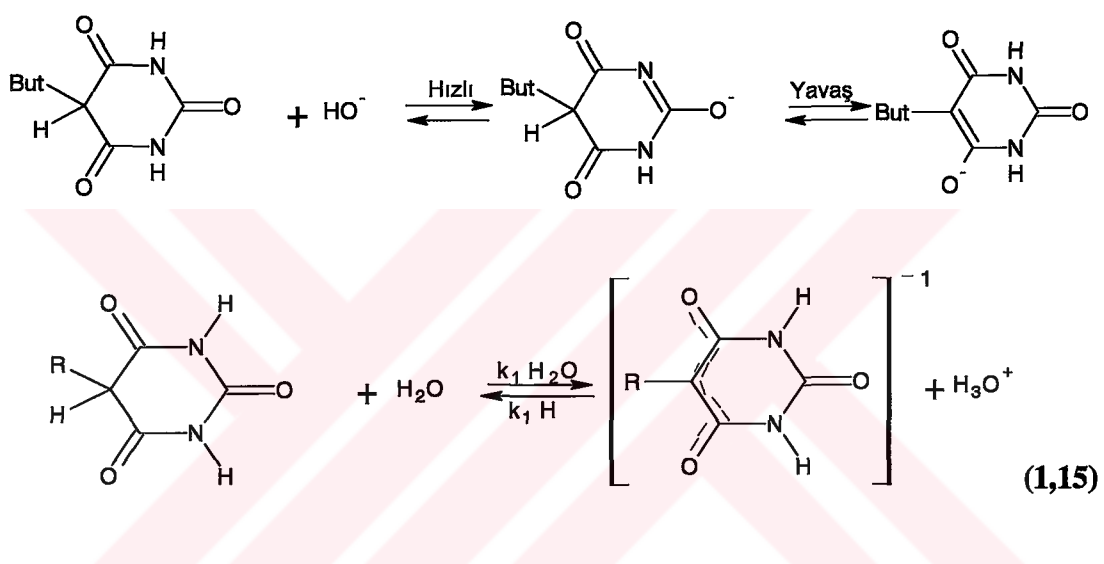
Tablo 1.1. Bazı barbitürik asit türevleri (kullanım alanları)



H= Hipnotik; Y= Yatıştırıcı; Ac= Antikonvulsant; A= Anestezik

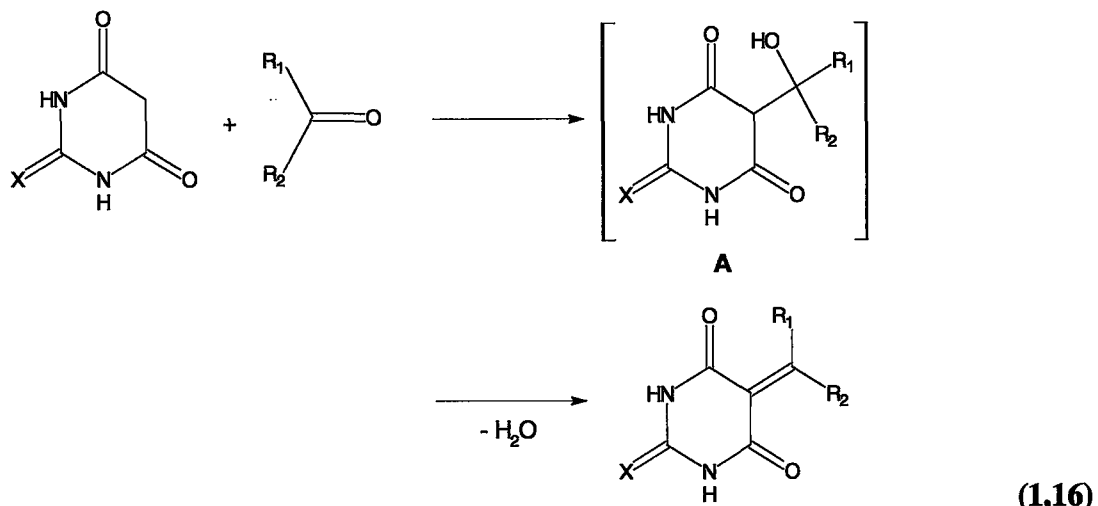
1.3.2. Barbitürik asitin asitliği

Barbitürik asitin yapısındaki iki protonun transferi üzerine ilk klasik çalışmalar Eigen, Ilgenfritz ve Kruse tarafından yapılmıştır. Daha sonraları Koffer ve P-Jump ve kondüktimetrik tayin ile bazı barbitürik asit türevlerini incelemiştir. Barbitürik asit molekülünün bazik ortamda ve sulu ortamda iyonlaşma dengesi Reaksiyon 1,15'de verilmektedir (Buckingham et.al., 1984; McKeown, 1980).

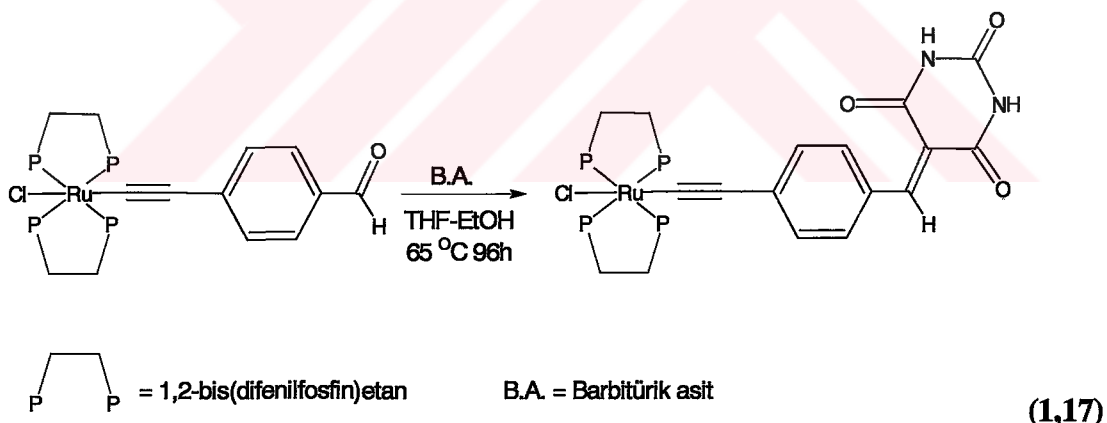


1.3.3. Barbitürik asitin reaksiyonları

Barbitürik asitin 2-tiyo ve 2-seleno türevleri reaksiyonlarında çoğunlukla karbon nükleofili olarak davranışır. En önemli reaksiyonlarından birisi karbonil bileşikleri ile olan reaksiyonlarındır (Reaksiyon 1,16). Örneğin aromatik aldehitlerle veya heteroaromatik aldehitlerle yüksek verimde 5-arylmetilen barbitürik asit veya 5-heteroarylmetilen barbitürik asit oluştururlar.



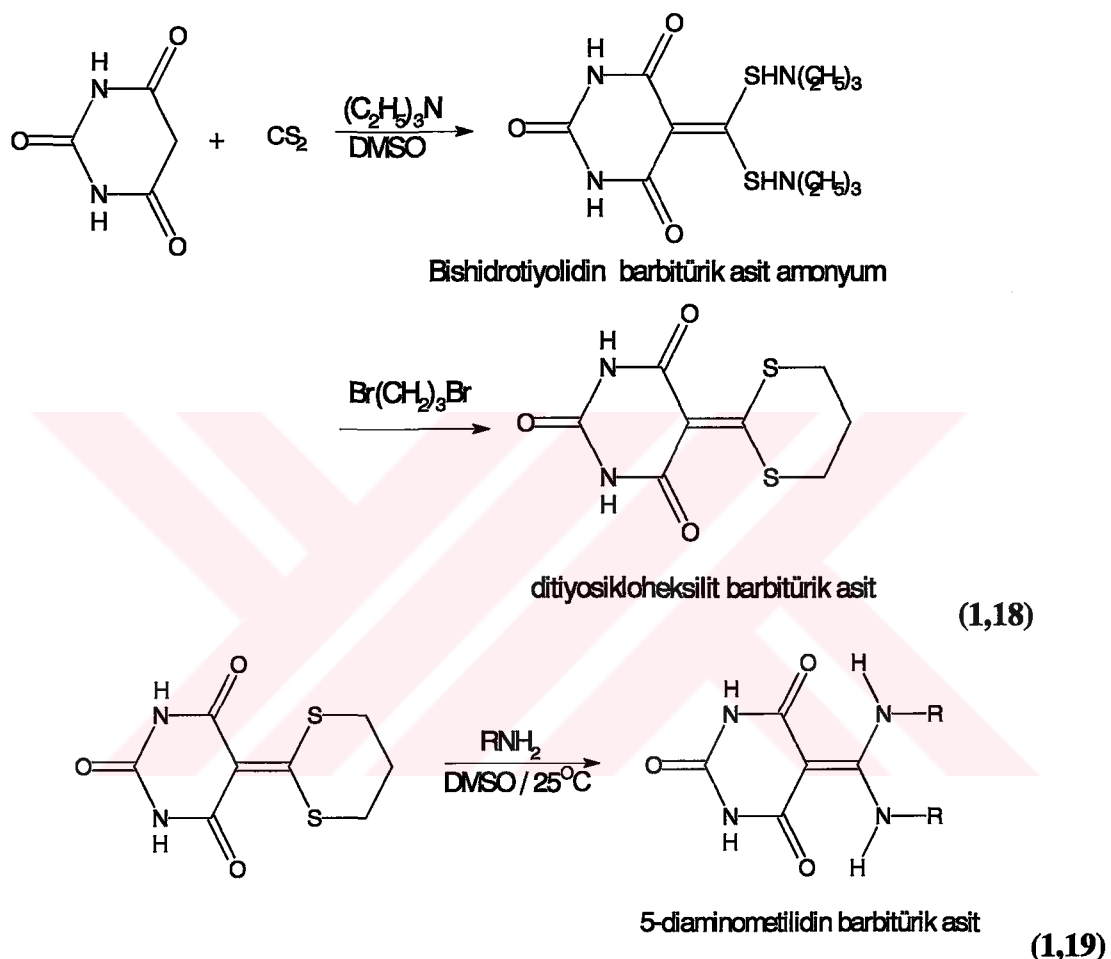
Burada ara ürün olarak gösterilen α -hidroksimetil türevi (**A**) bazı çalışmalarında izole edilebilmiştir (Moskvin vd, 2001). Bu tip reaksiyonlara “Knoevenagel Kondenzasyonu” da denir. Son yıllarda bu konuda çok sayıda çalışma yapılmıştır. Örneğin Fillaut vd (2001), rutenyum- α -asetilenit türevi ile barbitürük asitin reaksiyonuyla rutenyum- α -asetilenit ve barbitürük asit içeren bir kondenzasyon türevi sentezlemiştir (Reaksiyon 1,17).



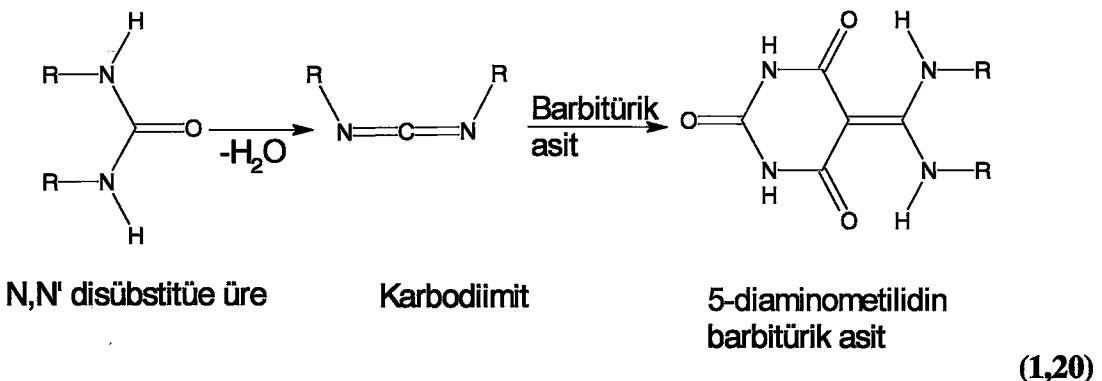
Barbitürük asitin Knoevenagel Kondenzasyonuna benzer başka bir reaksiyonu da karbondisülfürle ve karbodiimidlerle olan reaksiyonlardır. Karbondisülfürle olan reaksiyonu ilk olarak Jensen ve Henriksen (1968) tarafından gerçekleştirilmiştir. Reaksiyon sonucu oluşan bishidrotiyolidin barbitürük asitin sodyum tuzunu 1,3-dibrom propan ile reaksiyona sokmuş ve düşük verimle ditiosikloheksilid barbitürük asiti sentezlemiştir (Reaksiyon 1,18). Daha sonraları Huang ve Chen (1986), bu

reaksiyonda katalizör olarak kullanılan baz ve çözücüyü değiştirerek ditiosikloheksilid barbitürük asiti daha yüksek verimle sentezlemiştir.

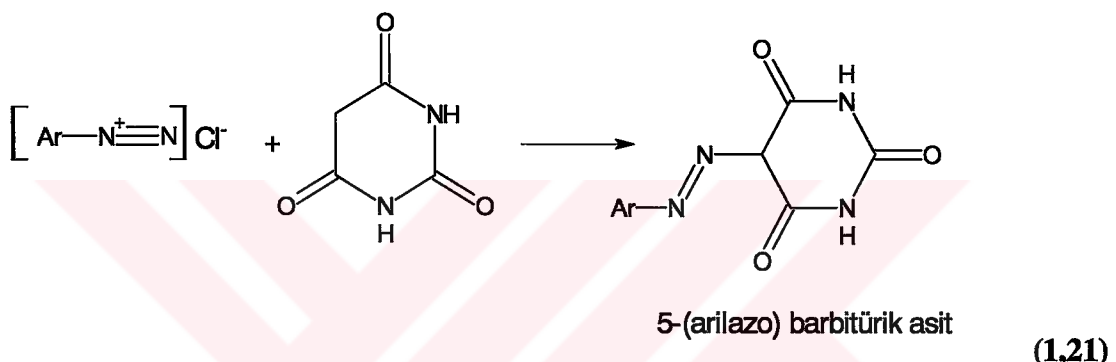
Figueroa-Villar vd. (2001), Huang ve Chen (1986) tarafından sentezlenen ditiyosikloheksilid barbitürük asit ile primer aminleri reaksiyona sokmuş ve 5-diaminometilidin barbitürük asit türevleri sentezlemiştir (Reaksiyon 1,19).



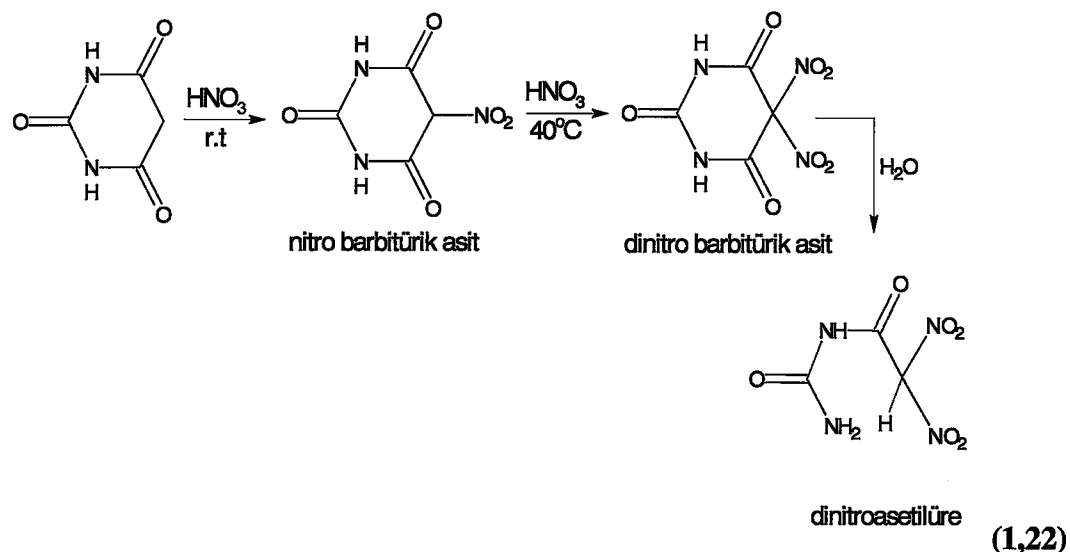
Dietil malonat gibi aktif metilen grubu taşıyan bileşikler, üreden su çekilmesiyle elde edilen karbodiimitlerle yüksek sıcaklıklarda bir kondenzasyon ürünü verirler (Gompper ve Kuntz, 1985). Bu reaksiyondan yola çıkarak, aktif metilen grubuna sahip barbitürük asidin de bu tip reaksiyonlar vereceğini düşünen Jursic vd (2003), Figueroa-Villar vd (2001)'nin birkaç basamakta sentezini gerçekleştirdikleri 5-diaminometilidin barbitürük asit türevlerinin sentezini barbitürük asit ile karbodiimitlerin direk reaksiyonuyla tek basamakta gerçekleştirmiştir (Reaksiyon 1,20).



Barbitürik asit türevlerinin bir diğer reaksiyonu da kenetleme reaksiyonlarıdır. Kararsız yapıdaki diazonyum klorür tuzları barbitürik asitteki aktif metilen grubuna kenetlenmesiyle bu reaksiyon meydana gelir (Reaksiyon 1,21), (Masoud vd, 1988).



Sentezlenen 5-(arilazo) barbitürik asit türevlerinin, boyar madde ve spektrofotometrik analiz reaktifi olarak kullanılabilirliği oldukça yoğun bir şekilde araştırılmaktadır (Amin vd 2001; Song vd 2002).



Barbitürik asit oda sıcaklığında dumanlı nitrik asitle muamele edildiğinde beş pozisyonundan nitrolamaya uğrar. Bu reaksiyon uzun zamandır bilinen bir reaksiyondur. Reaksiyon ortamının sıcaklığı 40°C ye çıkartıldığında 5,5-dinitro barbitürik asit oluşur. Oluşan bu dinitro ürünü nükleofillere karşı oldukça hassastır ve su ile oda sıcaklığında hemen hidroliz olur ve karbondioksit ayrılmasıyla dinitroasetilüre oluşur (Reaksiyon 1,22) (Langet vd, 2000).

2. KAYNAK ÖZETLERİ

Bu çalışmada benzoik asit p-amino-[fenil metilen] hidrazit ve benzoik asit p-amino-[(hidroksi fenil) metilen] hidrazitin diazonyum tuzları ile barbitürık asit ve 1,3 dimetil barbitürük asitin reaksiyona sokulmasıyla literatürde bulunmayan dört yeni diazonyum bileşiği sentezlenmiştir. Elde edilen bileşiklerin Cu(II), Ni(II) ve Co(II) kompleksleri izole edilerek, yapıları ve spektroskopik özellikleri incelenmiştir.

Bu konu ile ilgili olarak daha önce yapılan çalışmalar aşağıda verilmiştir:

Chandra ve Ghosh (1991), çalışmalarında, 1,3-diaril barbitürük asit ile p-aminoazobenzen ve o-aminoazotoluenin reaksiyonu sonucu, 1,3-diaril-1,3-dihidroksi-1H,3H,5H-5-[4-(arilhidazon)benzenazo] pirimidin-2,4,6-trion isimli diazo bileşikleri elde edilmiştir. Elde edilen bileşiklerde diazo kısmına sahip pirimidintrionlarda termal ve ^1H NMR spektral çalışmaları sonucu, bu bileşiklerde β azotunun hidrojeni ve barbitürük asit kısmının komşu oksijen atomu arasında güçlü hidrojen bağı gösterdiği görülmüştür.

Mamdouh ve İbrahim (1986), o-metoksi anilin, anilin, o-metil anilin ve o-nitro anilin ile barbitürük asit reaksiyonundan elde edilen ligandların La(II), Co(II), Cu(II), Ni(II) komplekslerini sentezlemiş ve bu komplekslerin potansiyometrik titrasyon yöntemi ile kararlılık sabitlerini tayin etmişlerdir.

Ertan ve Gürkan (1997), para ve meta konumlu sübstütent içeren anilinler ile 3-siyan-6-hidroksi-4-metil 2-(1H) piridonun kenetlenmesinden azo piridon serisi ve bu boyaların Cu(II) komplekslerini sentezlemişler ve elementel analiz, IR, ^1H NMR ve UV-visible yöntemleri ile azo boyaya ve komplekslerini karakterize etmişlerdir. Azo boyalarının ayrışma sabitleri ve komplekslerin yapısal değişimleri spektrofotometrik olarak tayin edilmiş ve bu parametreler üzerine sübstütent etkileri tartışılmıştır.

Amin ve Mohammed (2001), 5-(2',4' dimetil fenil azo) 6-hidroksi pirimidin-2,4-dion ve 5-(4'-nitro-2',6'-diklorofenilazo) 6-hidroksi pirimidin-2,4-dion ligandlarını elde etmiş ve elde edilen ligandların toryum ve eser elementlerin aynı anda spektrofotometrik belirlenmesinde kullanımını araştırmıştır. Yine Amin vd (2003) bir başka çalışmada barbitürük asit ile anilin türevlerinden elde edilen pirimidin azo boyaları ile itriyum elementinin spektroskopik yöntemle belirlenmiştir. Uygulanan spektroskopik yöntemde pH, konsantrasyon, çözücü miktarı gibi parametrelerin

etkileri de araştırılmıştır. Tiryumun spektroskopik belirlenmesi için daha önceden kullanılmış yöntemler ile karşılaştırılması yapılmıştır. Her iki çalışma sonucunda da elde edilen ligandların eser elementlerin spektroskopik yöntem olarak kullanılabilir olduğu sonucu ortaya koyulmuştur.

Masoud vd. (2003), barbitürık asit ve tiyobarbitürük asitin 2-amino pridin, 2-amino pyrazine ve 2-amino benzotiyozol ve 5-amino1,3,4- tiyodiao 1-2- tiyon ile reaksiyonundan diazo bileşikleri elde edilmiştir. Elde edilen bu ligandların Cu(II), Ni(II) ve Co(II) komplekslerini sentezlemiş, komplekslerin yapılarının tetrahedral olduğunu söylemiştir. ESR ölçümleri ile ligandlar ve metal iyonları arasındaki bağlanmalar açıklanmıştır. İletkenlik ölçümleri ligandların ve komplekslerin yarı iletken oldukları sonucu ortaya konulmuştur. Termal reaksiyonların türü ve aktivasyon enerjileri DTA yöntemi ile hesaplanılmıştır.

Masoud vd. (2002), 2-amino tiyazol ile barbitürük asit, urasil, tiyourasil, sitrazinik asit, kromotropik asit, gallik asit, pirogallol, salisilik asitin diazo bileşikleri ve Cu(II), Ni(II) ve Co(II) komplekslerini sentezlemiştir. Bu bileşiklerin yapıları IR, ¹H NMR ve elektronik absorbsiyon spektrumlarına pH'ın etkilerinden yararlanılarak aydınlatılmıştır. İyonizasyon türleri, elektronik geçişleri ve ayrışma sabitleri irdelenmiştir. Komplekslerin stokiyometrilerinin 1:1, 2:1 ve 3:2 (M/L) olduğu ortaya çıkartılmıştır. Detaylı DTA termogramları elde edilmiş ve sonuçlar tartışılmıştır.

Küçükgüzel vd (1999), çeşitli 2,3,4 pentantrion-3-[4-][[5-nitro-2-furil/piridil/substitute fenil)metilen]hidrazino karbonil]fenil] hidrazone 0-5 °C'de 4-amino benzoikasit- [5-nitro-2-furil/piridil/sübstitüe fenil)metilen] hidrazitlerin diazonyum tuzları ile asetil asetonun reaksiyonları ile sentezlenmiştir. Bu bileşiklerin yapıları spektral yöntemler kullanılarak belirlenmiş ve sentezlenen diazo bileşiklerinin antimikrobiel aktiviteleri araştırılmıştır.

Masoud vd. (2004), barbitürük asit, tiyobarbitürük asit, tiyourasil, sitrazinik asit ve disodyum kromat'ın [o-karboksi fenil azo] kısımlı ligandların sentezi yapılmıştır. Elde edilen ligandların Cu(II), Ni(II), Co(II) kompleksleri elde edilmiş ve komplekslerin bağlanma biçimleri, stokiyometrileri elementel analiz, NMR, UV-Vis, IR ve ESR sonuçları değerlendirilerek tespit edilmiştir. Azo ligandlarının ayrışma sabitleri spektrofotometrik metodlardan yararlanılarak hesaplanmıştır.

Yapılan bu çalışmaların ışığında, barbitürik asit, 0–5 °C’de ve pH 9-10’da benzoik asit p- amino-[(fenil/ p-hidroksi fenil)metilen] hidrazitin diazonyum tuzları arasındaki reaksiyondan aril diazonyum bileşiklerinin sentezi gerçekleştirildi. Barbitürik asitin diazonyum bileşiklerinin komplekslerinin sentezinde metal klorür tuzları kullanıldı ve pH ayarı trietilamin ile yapıldı.

3. MATERİYAL ve YÖNTEM

3.1. Kullanılan Maddeler

Bu çalışmada kullanılan bütün kimyasal maddeler analitik saflıktadır. Kimyasal maddeler Merck, Fluka, Carlo Erba, Sigma firmalarından temin edilmiştir.

Bu çalışmada çıkış maddesi olarak kullanılan p-amino benzoik asit hidrazit, Benzoik asit p-amino [(substütie fenil) metilen] hidrazit (Komurcu vd., 1994), Aril diazonyum tuzları (Küçükgüzel vd., 1999) literatürde belirtildiği gibi sentezlenmiştir. Ayrıca gerekli olan bazı ara maddelerde laboratuar şartlarında sentezlenmiştir.

3.2. Kullanılan Aletler

İnfrared spektrofotometresi: IR spektrumları Selçuk Üniversitesi Fen Edebiyat Fakültesi Kimya Bölümü’nde bulunan Pye-Unicam SP 1025, Mattson 1000 FTIR, model spektrofotometrede KBr pellet ile çektilermiştir.

Nükleer Magnetik Rezonans Spektroskopisi: ^1H NMR spektrumları Ankara TÜBİTAK Enstrümental Analiz Laboratuvarı'nda Bruker Avance DPX-400 model cihaz ile yapılmıştır.

Erime Noktası Tayin Cihazı: Sentezlenen bileşiklerin erime noktaları Muğla Üniversitesi Fen-Edebiyat Fakültesi Kimya Bölümü’nde bulunan Büchi SMP-20 model cihaz ile bakılmıştır.

Atomik Absorpsiyon spektrofotometresi: Sentezlenen komplekslerin metal miktarlarına, Muğla Üniversitesi Fen-Edebiyat Fakültesi Kimya Bölümü’nde GBC Avanta model atomik absorpsiyon spektrofotometresinde bakılmıştır.

Elementel Analiz: Sentezi yapılan bileşiklerin elementel analizleri Ankara TÜBİTAK Enstrümental Analiz Laboratuvarı'nda yapılmıştır.

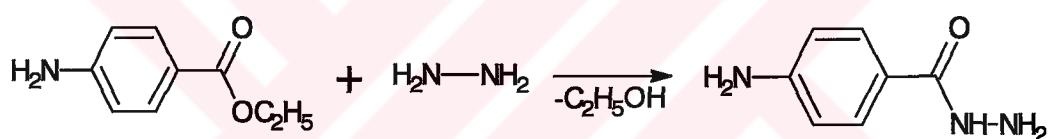
Kütle Spektroskopisi (MS): Sentezlenen bileşiklerin LC/MS kütle spektrumları Ankara TÜBİTAK Enstrümental Analiz Laboratuvarı'nda alınmıştır.

UV-Visible Spektrofotometre: Sentezlenen bileşiklerin UV-Vis spektrumları Muğla Üniversitesi Kimya Bölümünde bulunan Shimadzu marka UV-1601 model UV-Vis spektrofotometre ile çekilmiştir.

Magnetik Suszeptibilite: Komplekslerin magnetik süszeptibiliteri Selçuk Üniversitesi Fen-Edebiyat Fakültesi Kimya Bölümünde bulunan Sherwood Scientific MXI model Gouy magnetic suszeptibilite Terazisi ile yapıldı.

3.3. Deneysel Bölüm

3.3.1. p- Amino benzoik asit hidrazit sentezi

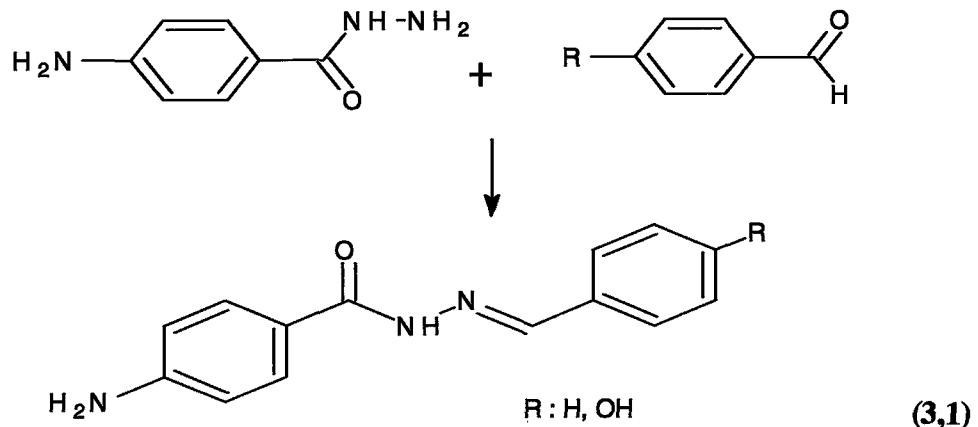


10 g etil p- amino benzoat ve (15 mL, %64) hidrazin hidrat, 130 °C'de 1 saat geri soğutucu altında kaynatıldı. Karışma, 6 mL etanol ilave edildi ve geri soğutucu altında 30 dk. daha kaynatıldı. Elde edilen çökelek süzüldü, bol su ile yıkandı ve kurumaya bırakıldı. (Erime Noktası: 215–217 °C).

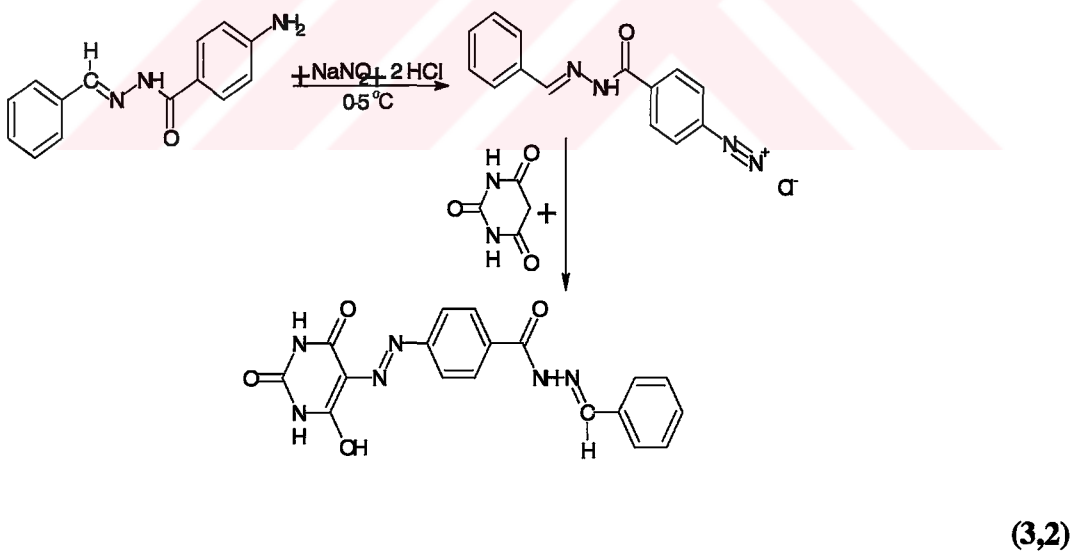
3.3.2. Aromatik primer aminlerin sentezi

0,01 mol (1,51 g) p- amino benzoik asit hidrazit yaklaşık 90 ml etanolde çözündü ve bu çözeltiye 0,01 mol aldehit (benzaldehit veya p-hidroksi benzaldehit) ilave

edildi. Karışım geri soğutucu altında 1 saat kaynatıldı. Soğuduktan sonra, karışım süzüldü, soğuk su ile yıkandı ve etanolden kristallendirildi (Reaksiyon 3.1.)



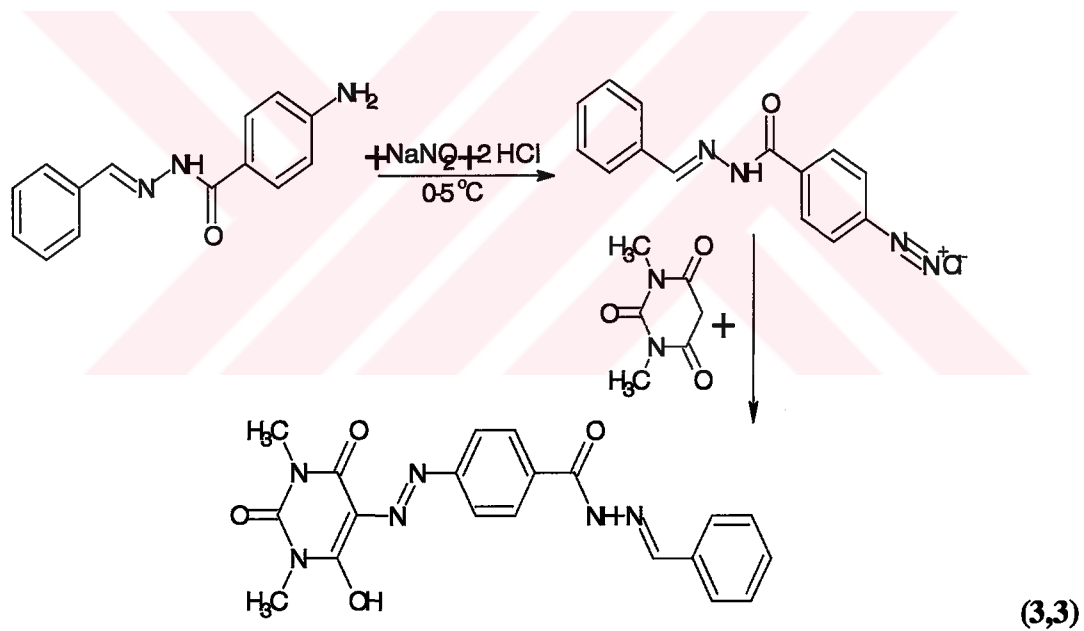
3.3.3. 5-{{[4-(fenil)methilen]hidrazinokarbonil]fenilazo}6-hidroksipirimidin-2,4-dion Sentezi (HL₁)



5 mmol (1,195 g) benzoik asit p- amino-[(fenil)methilen] hidrazit alınarak 20 mL saf su içerisinde konulup tuz-buz banyosunda sıcaklık 0–5 °C’ye gelene kadar karıştırıldı ve sonra 1,2 mL (0,01 mol) HCl süspansı çözelti üzerine ilave edildi.

Daha sonra 5 mL saf suda çözünen 5 mmol (0,345 g) NaNO_2 çözeltisi soğutularak, çözeltiye damla damla ilave edildi. Bu çözelti yaklaşık 30 dk. 0–5 °C'de karıştırıldı. Elde edilen diazonyum tuzu çözeltisi, 40 ml saf suda çözünmüş 15 mmol (1,6 g) Na_2CO_3 içerisinde 75 mL saf suya 5 mmol (0,64 g) barbitürik asit ilave edilerek hazırlanmış ve sıcaklığı 0–5 °C'ye soğutulmuş karışma kısım kısım ilave edildi. Bu karışımın pH'sı 9–10'da tutularak sıcaklık 0–5 °C arası olacak şekilde 6 saat karıştırıldı. Daha sonra karışımın pH'sı % 10'luk HCl ile yaklaşık 6'ya ayarlanarak bir gece buzdolabında bekletildi. Elde edilen çökelek süzüldü, birkaç defa su ile yıkandı ve kurumaya bırakıldı. Ham ürün sıcak suda ve asetonda yıkanarak, kahverengi renkli ürün elde edildi (Reaksiyon 3.2.). Verim (%68)

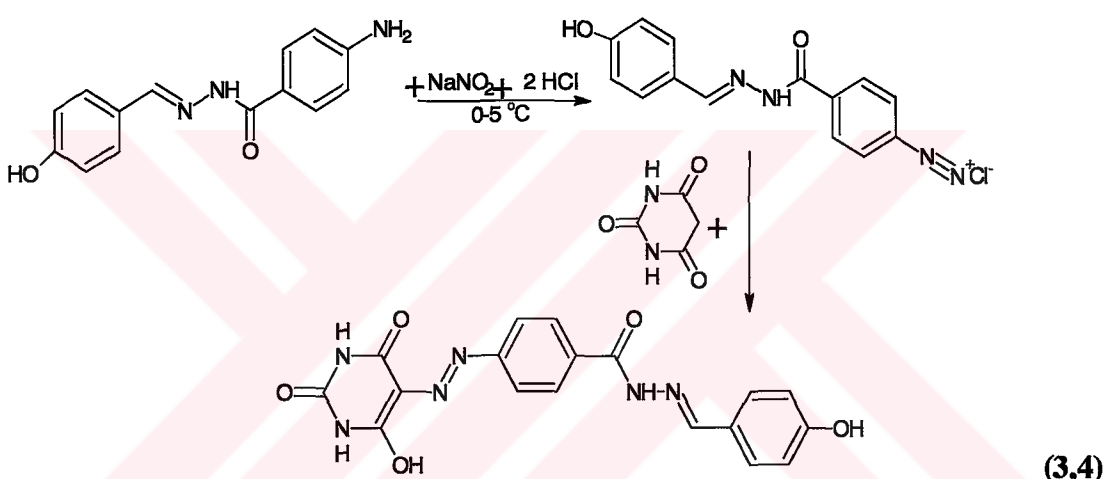
3.3.4. 5-{{[4-(fenil)metilen]hidrazinokarbonil]fenilazo}6-Hidroksi 1,3-dimetil Pirimidin –2,4-dion Sentezi (HL_2)



5 mmol (1,195 g) benzoik asit p- amino-[fenil] hidrazit 20 ml saf su içerisinde konup tuz buz banyosunda sıcaklık 0–5 °C'ye gelene kadar karıştırıldı ve sonra 1,2 mL (0,01 mol) HCl süspansı çözelti üzerine ilave edildi. Daha sonra 5 mL saf suda çözünen 5 mmol (0,345 g) NaNO_2 çözeltisi soğutularak, çözeltiye damla damla ilave edildi. Bu çözelti yaklaşık 30 dk. 0–5 °C'de karıştırıldı. Elde edilen diazonyum tuzu çözeltisi, 40 ml saf suda çözünmüş 15 mmol (1,6 g) Na_2CO_3

icerisine 75 mL saf suda 5 mmol (0,78 g) 1,3 dimetil barbitürik asit ilave edilerek hazırlanmış ve sıcaklığı 0–5 °C’ye soğutulmuş karışımı kısım kısım ilave edildi. Bu karışımın pH’ı 9-10’da tutularak sıcaklık 0–5 °C arası olacak şekilde 6 saat karıştırıldı. Daha sonra karışımın pH’ı % 10’luk HCl ile yaklaşık 6’ya ayarlanarak bir gece buzdolabında bekletildi. Elde edilen çökelek süzüldü, birkaç defa su ile yıkandı ve kurumaya bırakıldı. Ham ürün sıcak suda ve asetonda yıkanarak, sarı renkli ürün elde edildi (Reaksiyon 3.3.). Verim (%65).

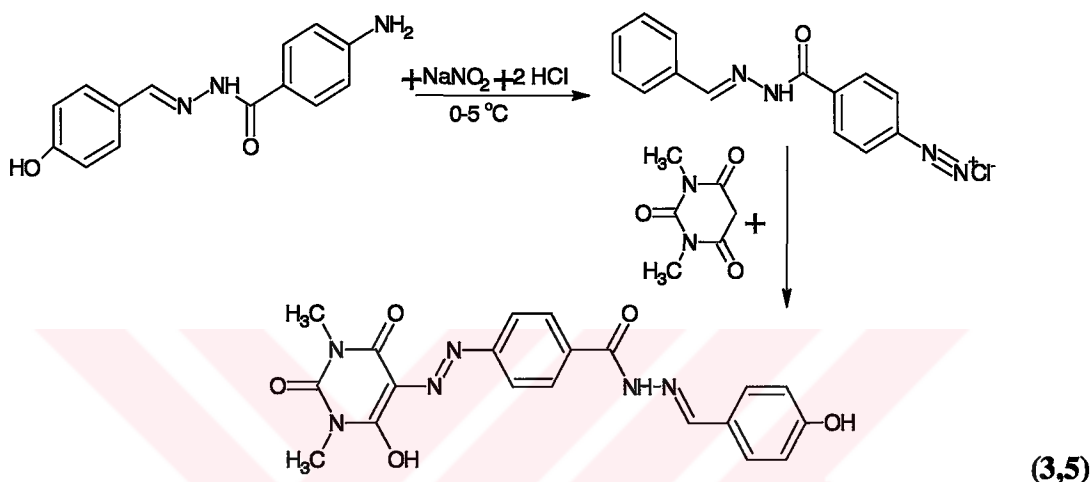
3.3.5. 5-{[[4-(4-hidroksifenil)metylen]hidrazinokarbonil]fenilazo}6-Hidroksi Primidin- 2,4-dion Sentezi (HL₃)



5 mmol (1,275 g) benzoik asit p- amino-[(p-hidroksifenil)metylen] hidrazit alınarak 20 mL saf su içeresine konup tuz-buz banyosunda sıcaklık 0–5 °C’ye gelene kadar karıştırıldı ve sonra 1,2 mL (0,01 mol) HCl süspansel çözelti üzerine ilave edildi. Daha sonra 5 mL saf suda çözünen 5 mmol (0,345 g) NaNO₂ çözeltisi soğutularak, çözeltiye damla damla ilave edildi. Bu çözelti yaklaşık 30 dk. 0-5 °C’de karıştırıldı. Elde edilen diazonyum tuzu çözeltisi, 40 mL saf suda çözünmüş 15 mmol (1,6 g) Na₂CO₃ içeresine 75 mL saf suda 5 mmol (0,64 g) barbitürik asit ilave edilerek hazırlanmış ve sıcaklığı 0–5 °C’ye soğutulmuş karışımı kısım kısım ilave edildi. Bu karışımın pH’ı 9-10’da tutularak sıcaklık 0-5 °C arası olacak şekilde 6 saat karıştırıldı. Daha sonra karışımın pH’ı % 10’luk HCl ile yaklaşık 6’ya ayarlanarak bir gece buzdolabında bekletildi. Elde edilen çökelek süzüldü, birkaç defa su ile

yıkandı ve kurumaya bırakıldı. Ham ürün sıcak suda ve asetonda yikanarak, bordo renkli ürün elde edildi (Reaksiyon 3.4). Verim (%70).

3.3.6. 5-{{[4-(4-hidroksifenil)metilen]hidrazinokarbonil]fenilazo}6-Hidroksi 1,3-dimetil Pirimidin -2,4-dion Sentezi (HL₄)



5 mmol (1,275 g) benzoik asit p- amino-[(p-hidroksifenil)metilen] hidrazit 20 mL saf su içerisinde konup tuz-buz banyosunda sıcaklık 0–5 °C'ye gelene kadar karıştırıldı ve sonra 1,2 ml (0,01 mol) HCl süspanse çözelti üzerine ilave edildi. Daha sonra 5 mL saf suda çözünen 5 mmol (0,345 g) NaNO₂ çözeltisi soğutularak, çözeltiye damla damla ilave edildi. Bu çözelti yaklaşık 30 dk. 0–5 °C'de karıştırdı. Elde edilen diazonyum tuzu çözeltisi, 40 ml saf suda çözünmüş 15 mmol (1,6 g) Na₂CO₃ içerisinde 75 mL saf suda 5 mmol (0,78 g) 1,3 dimetil barbitürük asit ilave edilerek hazırlanmış ve sıcaklığı 0–5 °C'ye soğutulmuş karışma kısım kısım ilave edildi. Bu karışımın pH'sı 9–10'da tutularak sıcaklık 0–5 °C arası olacak şekilde 6 saat karıştırdı. Daha sonra karışımın pH'sı % 10'luk HCl ile yaklaşık 6'ya ayarlanarak bir gece buzdolabında bekletildi. Elde edilen çökelek szüldü, birkaç defa su ile yıkandı ve kurumaya bırakıldı. Ham ürün sıcak suda ve asetonda yikanarak, açık kahve rengi renkli ürün elde edildi (Reaksiyon 3.5). Verim (%72).

3.3.7. HL_1 Ligandının Cu (II), Ni (II) ve Co (II) komplekslerinin Sentezi ([Cu(L₁)₂(H₂O)₂].H₂O, [Ni(L₁)₂(H₂O)₂]3.H₂O ve [Co(L₁)₂(H₂O)₂]3.H₂O)

250 ml'lik bir balon içerisinde HL_1 ligandından 2 mmol (0,756 g) alınarak 30 ml metanoldeki süspansiyonuna, 10 ml metanolde çözünmüş 1 mmol (0,17 g) $\text{CuCl}_2 \cdot 2\text{H}_2\text{O}$ ilave edildi ve yaklaşık 10 dk. geri soğutucu altında kaynatıldı. Karışımın düşen pH'ı trietilamin ile 5,5-6'ya ayarlanarak, geri soğutucu altında 5 saat kaynatıldı. Çözelti soğuduktan sonra oluşan kompleks szüldü ve birkaç defa metanol ve su ile yıkandı. Elde edilen kompleksler açık havada kurutuldu. Aynı işlemler 1 mmol (0,24 g) $\text{NiCl}_2 \cdot 6\text{H}_2\text{O}$ ve 1 mmol (0,24 g) $\text{CoCl}_2 \cdot 6\text{H}_2\text{O}$ ile tekrarlandı.

3.3.8. HL_2 Ligandının Cu(II), Ni(II) ve Co(II) komplekslerinin Sentezi ([Cu(L₂)₂(H₂O)₂].H₂O, [Ni(L₂)₂(H₂O)₂]3.H₂O ve [Co(L₂)₂(H₂O)₂]3.H₂O)

250 ml'lik bir balon içerisinde HL_2 ligandından 2 mmol (0,788 g) alınarak 30 ml metanoldeki süspansiyonuna, 10 ml metanolde çözünmüş 1 mmol (0,17 g) $\text{CuCl}_2 \cdot 2\text{H}_2\text{O}$ ilave edildi ve yaklaşık 10 dk geri soğutucu altında kaynatıldı. Karışımın düşen pH'ı trietilamin ile 5,5-6'ya ayarlanarak, geri soğutucu altında 5 saat kaynatıldı. Çözelti soğuduktan sonra oluşan kompleks szüldü ve birkaç defa metanol ve su ile yıkandı. Elde edilen kompleksler açık havada kurutuldu. Aynı işlemler 1 mmol (0,24 g) $\text{NiCl}_2 \cdot 6\text{H}_2\text{O}$ ve 1 mmol (0,24 g) $\text{CoCl}_2 \cdot 6\text{H}_2\text{O}$ ile tekrarlandı.

3.3.9. HL_3 Ligandının Cu(II), Ni(II) ve Co(II) komplekslerinin Sentezi ([Cu(L₃)₂(H₂O)₂].H₂O, [Ni(L₃)₂(H₂O)₂]3.H₂O ve [Co(L₃)₂(H₂O)₂]3.H₂O)

250 ml'lik bir balon içerisinde HL_3 ligandından 2 mmol (0,812 g) alınarak 30 ml metanoldeki süspansiyonuna, 10 ml metanolde çözünmüş 1 mmol (0,17 g) $\text{CuCl}_2 \cdot 2\text{H}_2\text{O}$ ilave edildi ve yaklaşık 10 dk. geri soğutucu altında kaynatıldı. Karışımın

düşen pH'1 trietilamin ile 5,5-6'ya ayarlanarak, geri soğutucu altında 5 saat kaynatıldı. Çözelti soğuduktan sonra oluşan kompleks süzüldü ve birkaç defa metanol ve su ile yıkandı. Elde edilen kompleksler açık havada kurutuldu. Aynı işlemler 1 mmol (0,24 g) $\text{NiCl}_2 \cdot 6\text{H}_2\text{O}$ ve 1 mmol (0,24 g) $\text{CoCl}_2 \cdot 6\text{H}_2\text{O}$ ile tekrarlandı.

3.3.10. HL_4 Ligandının Cu(II), Ni(II) ve Co(II) komplekslerinin Sentezi ($[\text{Cu}(\text{L}_4)_2(\text{H}_2\text{O})_2] \cdot \text{H}_2\text{O}$, $[\text{Ni}(\text{L}_4)_2(\text{H}_2\text{O})_2] \cdot 3\text{H}_2\text{O}$ ve $[\text{Co}(\text{L}_4)_2(\text{H}_2\text{O})_2] \cdot 3\text{H}_2\text{O}$)

250 ml'lik bir balon içerisinde HL_4 ligandından 2 mmol (0,844 g) alınarak 30 ml metanoldeki süspansiyonuna, 10 ml metanolde çözünmüş 1 mmol (0,17 g) $\text{CuCl}_2 \cdot 2\text{H}_2\text{O}$ ilave edildi ve yaklaşık 10 dk. geri soğutucu altında kaynatıldı. Karışımın düşen pH'1 trietilamin ile 5,5-6'ya ayarlanarak, geri soğutucu altında 5 saat kaynatıldı. Çözelti soğuduktan sonra oluşan kompleks süzüldü ve birkaç defa metanol ve su ile yıkandı. Elde edilen kompleksler açık havada kurutuldu. Aynı işlemler 1 mmol (0,24 g) $\text{NiCl}_2 \cdot 6\text{H}_2\text{O}$ ve 1 mmol (0,24 g) $\text{CoCl}_2 \cdot 6\text{H}_2\text{O}$ ile tekrarlandı.

3. ARAŞTIRMA BULGULARI

Sentezi gerçekleştirilen ve literatürde rastlanılmayan dört yeni diazo bilesiği ve bu ligantların Cu(II), Ni(II) ve Co(II) komplekslerine ait bazı fiziksel ve kimyasal özellikler Tablo 4.1 de verilmiştir. Tablo 4.1.'de ayrıca sentezi yapılan 16 bilesinin UV-Vis spektrumlarından elde edilen λ_{\max} (nm) değerleri de verilmiştir.

Tablo 4.1 Ligandların ve komplekslerinin bazı fiziksel ve kimyasal özellikleri

Bileşik	Magnetik Moment	Renk	E.N.(Boz.) °C	Verim %	$\lambda_{\max}(\text{nm})$ DMSO
HL ₁	-	K.kahverengi	328	68	258, 294, 395
[Cu(L ₁) ₂ (H ₂ O) ₂]	1,92	K.kahverengi	338	93	258, 294, 395
[Ni(L ₁) ₂ (H ₂ O) ₂]	2,89	K.bordo	350<	92	243, 293, 393
[Co(L ₁) ₂ (H ₂ O) ₂]	3,60	A.kahverengi	350<	94	245, 303, 385
HL ₂	-	Açık Sarı	294	65	253, 295, 395
[Cu(L ₂) ₂ (H ₂ O) ₂]	1,85	K.yeşil	310	90	257, 296, 396
[Ni(L ₂) ₂ (H ₂ O) ₂]	3,02	A.kahverengi	370	92	259, 294, 395
[Co(L ₂) ₂ (H ₂ O) ₂]	3,76	K.sarı	350<	90	258, 296, 395
HL ₃	-	K.bordo	325	70	257, 295, 312 (omuz), 396
[Cu(L ₃) ₂ (H ₂ O) ₂]	1,76	K.yeşil	350<	94	258, 295, 312 (omuz), 399
[Ni(L ₃) ₂ (H ₂ O) ₂]	2,94	A.kahverengi	350<	95	297, 312 (omuz), 405
[Co(L ₃) ₂ (H ₂ O) ₂]	3,55	Kahverengi	350<	92	259, 297, 312 (omuz), 397
HL ₄	-	A.kahverengi	280	72	258, 298, 312 (omuz), 398
[Cu(L ₄) ₂ (H ₂ O) ₂]	1,82	K.kahverengi	313	92	258, 297, 312 (omuz), 399
[Ni(L ₄) ₂ (H ₂ O) ₂]	2,90	A.kahverengi	350<	93	260, 298, 312 (omuz), 398
[Co(L ₄) ₂ (H ₂ O) ₂]	3,64	K.kahverengi	300<	90	258, 298, 312 (omuz), 398

Tablo 4.2.'de sentezlenen bileşiklerin kapalı formülleri, molekül ağırlıkları, elementel analiz sonuçları ve atomik absorbсиyon spektrofotometresi ile bulunan metal yüzdeleri verilmiştir..

Tablo 4.2 Ligandların ve komplekslerin elementel analiz sonuçları

Bileşik	Kapalı Formül	M.A.	Hesaplanan (Bulunan) %			
			C	H	N	M
HL ₁	C ₁₈ H ₁₄ N ₆ O ₄	378	57.14 (57.06)	3.70 (3.78)	22.22 (22.16)	-
[Cu(L ₁) ₂ (H ₂ O) ₂]H ₂ O	C ₃₆ H ₃₂ N ₁₂ O ₁₁ Cu	871.5	49.57 (48.37)	3.67 (3.30)	19.28 (19.11)	7.29 (7.18)
[Ni(L ₁) ₂ (H ₂ O) ₂]3.H ₂ O	C ₃₆ H ₃₆ N ₁₂ O ₁₃ Ni	902.7	47.86 (47.75)	3.99 (3.73)	18.61 (18.52)	6.50 (6.39)
[Co(L ₁) ₂ (H ₂ O) ₂]3.H ₂ O	C ₃₆ H ₃₆ N ₁₂ O ₁₃ Co	902.9	47.84 (47.73)	3.99 (3.84)	18.61 (18.49)	6.52 (6.38)
HL ₂	C ₂₀ H ₁₈ N ₆ O ₄	406	59.11 (58.98)	4.43 (4.29)	20.69 (20.61)	-
[Cu(L ₂) ₂ (H ₂ O) ₂]H ₂ O	C ₄₀ H ₄₀ N ₁₂ O ₁₁ Cu	927.5	51.75 (51.66)	4.31 (4.23)	18.11 (17.93)	6.85 (6.75)
[Ni(L ₂) ₂ (H ₂ O) ₂]3.H ₂ O	C ₄₀ H ₄₄ N ₁₂ O ₁₃ Ni	958.7	50.07 (49.93)	4.59 (4.35)	17.52 (17.35)	6.12 (5.98)
[Co(L ₂) ₂ (H ₂ O) ₂]3.H ₂ O	C ₄₀ H ₄₄ N ₁₂ O ₁₃ Co	958.9	50.06 (49.98)	4.59 (4.48)	17.52 (17.26)	6.14 (6.02)
HL ₃	C ₁₈ H ₁₄ N ₆ O ₅	394	54.82 (54.91)	3.55 (3.48)	21.32 (21.17)	-
[Cu(L ₃) ₂ (H ₂ O) ₂]H ₂ O	C ₃₆ H ₃₂ N ₁₂ O ₁₃ Cu	903.5	47.81 (47.75)	3.54 (3.28)	18.59 (18.47)	7.03 (6.95)
[Ni(L ₃) ₂ (H ₂ O) ₂]3.H ₂ O	C ₃₆ H ₃₆ N ₁₂ O ₁₅ Ni	934.7	46.22 (46.12)	3.85 (3.73)	17.97 (17.84)	6.28 (6.06)
[Co(L ₃) ₂ (H ₂ O) ₂]3.H ₂ O	C ₃₆ H ₃₆ N ₁₂ O ₁₅ Co	934.9	46.21 (46.14)	3.85 (3.76)	17.97 (17.88)	6.30 (6.15)
HL ₄	C ₂₀ H ₁₈ N ₆ O ₅	422	56.87 (56.73)	4.27 (4.19)	19.91 (19.82)	-
[Cu(L ₄) ₂ (H ₂ O) ₂]H ₂ O	C ₄₀ H ₄₀ N ₁₂ O ₁₃ Cu	959.5	50.03 (49.92)	4.17 (4.09)	17.51 (17.38)	6.62 (6.43)
[Ni(L ₄) ₂ (H ₂ O) ₂]3.H ₂ O	C ₄₀ H ₄₄ N ₁₂ O ₁₃ Ni	990.7	48.45 (48.37)	4.44 (4.35)	16.96 (16.87)	5.93 (5.78)
[Co(L ₄) ₂ (H ₂ O) ₂]3.H ₂ O	C ₄₀ H ₄₄ N ₁₂ O ₁₃ Co	990.9	48.44 (48.39)	4.44 (4.31)	16.95 (16.83)	5.94 (5.87)

Tablo 4.3. Ligandların ve komplekslerinin bazı karakteristik IR değerleri(cm^{-1})

Bileşik	$\nu(\text{O-H})_{\text{enol}}$	$\nu(\text{N-H})$	$\nu(\text{H}_2\text{O})$	$\nu(\text{C=O})_{\text{barbi}}$	$\nu(\text{C=O})_{\text{hid.}}$	$\nu(\text{C=N})$	$\delta(\text{NH})$	$\nu(\text{N=N})$	$\nu(\text{CO})$
HL ₁	3200(br)	3254	-	1753-1710	1656	1605	1550	1452	1258
[Cu(L ₁) ₂ (H ₂ O) ₂]·H ₂ O	-	3248	3430	1753-1710	1659	1604	1553	1432	1255
[Ni(L ₁) ₂ (H ₂ O) ₂]3·H ₂ O	-	3252	3445	1752-1709	1650	1606	1548	1432	1254
[Co(L ₁) ₂ (H ₂ O) ₂]3·H ₂ O	-	3260	3460	1752-1709	1645	1608	1553	1434	1254
HL ₂	3300(br)	3244	-	1724-1678	1635	1610	1565	1456	1280
[Cu(L ₂) ₂ (H ₂ O) ₂]·H ₂ O	-	3240	3438	1718-1670	1640	1607	1559	1435	1285
[Ni(L ₂) ₂ (H ₂ O) ₂]3·H ₂ O	-	3242	3410	1715-1655	1636	1607	1570	1434	1288
[Co(L ₂) ₂ (H ₂ O) ₂]3·H ₂ O	-	3241	3421	1716-1656	1635	1610	1568	1436	1290
HL ₃	3200(br)	3240	-	1753-1711	1657	1605	1553	1445	1256
[Cu(L ₃) ₂ (H ₂ O) ₂]·H ₂ O	-	3244	3434	1753-1712	1656	1605	1557	1425	1257
[Ni(L ₃) ₂ (H ₂ O) ₂]3·H ₂ O	-	3234	3415	1752-1710	1642	1604	1554	1415	1259
[Co(L ₃) ₂ (H ₂ O) ₂]3·H ₂ O	-	3252	3410	1750-1712	1645	1610	1554	1420	1258
HL ₄	3359(br)	3230	-	1726-1664	1645	1603	1550	1450	1286
[Cu(L ₄) ₂ (H ₂ O) ₂]·H ₂ O	-	3240	3437	1720-1666	1646	1605	1552	1430	1287
[Ni(L ₄) ₂ (H ₂ O) ₂]3·H ₂ O	-	3232	3415	1727-1667	1646	1607	1554	1427	1276
[Co(L ₄) ₂ (H ₂ O) ₂]3·H ₂ O	-	3235	3441	1726-1680	1646	1605	1552	1425	1286

Tablo 4.3.'de elde edilen dört ligand ve oniki komplekse ait bazı IR bantları verilmiştir. Tablo 4.4.'de ise sentezlenen dört liganda ait ^1H NMR spektrum değerleri verilmiştir. Metal komplekslerine ait ^1H NMR spektrumları, komplekslerin paramagnetik özellikte olması nedeniyle alınamamıştır.

Tablo 4.4. Ligandların DMSO'deki ^1H NMR spektrum değerleri, δ (ppm)

Bileşik	O-H \cdots N	O-H _{fenol}	N-H _{barbi}	N-H _{hid.}	N=CH	C-H _{arom}	N-CH ₃
HL ₁	14,30 (s, 1H)	-		11,30-12,11(m, 3H)	8,71 (s, 1H)	7,71-8,26 (m, 9H)	-
HL ₂	14,14 (s, 1H)	-		11,87 (s, 1H)	8,47 (s, 1H)	7,47-8,03 (m, 9H)	3,24 (s, 6H)
HL ₃	15,11 (s, 1H)	9,93 (s, 1H)	11,66 (s, 1H)	11,40 (s, 1H)	8,33 (s, 1H)	8,02(d,2H,J=8,55) 7,71(d,2H,J=8,58) 7,57(d,2H,J=8,37) 6,85(d,2H,J=8,40)	-
HL ₄	14,14 (s, 1H)	9,94 (s, 1H)	-	11,67 (s, 1H)	8,34 (s, 1H)	8,01(d,2H,J=8,61) 7,75(d,2H,J=8,61) 7,56(d,2H,J=8,48) 6,85(d,2H,J=8,51)	3,24 (s, 6H)

5. SONUÇLAR ve TARTIŞMA

Aril diazonyum bileşikleri ve geçiş metal komplekslerinin sentezlenmesi amacı ile yapılan bu çalışmada sırasıyla dört aril diazonyum bileşiği ve 12 metal kompleksi, literatürde verilen yöntemler ışığında sentezlenmiştir. p-Amino etil benzoat'ın hidrazin hidrat ile reaksiyonundan elde edilen p-amino benzoik asit hidrazitin, benzaldehit ve p-hidroksi benzaldehit ile reaksiyonundan iki aril hidrazone sentezlenmiştir. Aril hidrazoneların 0-5 °C sıcaklıkta, asidik ortamda NaNO₂ ile reaksiyonundan elde edilen diazonyum tuzu ile sırasıyla barbitürik asit ve 1,3 dimetil barbitürik asit ile yine 0-5 °C sıcaklıkta bazik ortamda kenetlenmesi sonucu dört yeni ligand elde edilmiştir. Sentezlenen HL₁, HL₂, HL₃ ve HL₄ ligantlarından Cu(II), Ni(II), Co(II) metallerinin kompleksleri sentezlenmiştir. Sentezlenen 16 yeni bileşliğin ligand ve komplekslerinin yapıları; elementel analiz, UV-Vis ve FTIR yöntemleriyle bu yöntemlere ek olarak 4 ligandin yapısı ¹H NMR, 2 ligandin yapısı LC/MS, 12 kompleksin yapısı magnetik suszeptibilite ve atomik absorbsiyon ölçümleriyle aydınlatılmıştır. Analiz bulguları ve literatür bilgileri dikkate alınarak ligandlar ve kompleksler için yapısal formüller önerilmiştir.

5.1. Erime Noktası, Renk ve Verim Bulgularının Değerlendirilmesi

Sentezlenen 16 bileşliğin; bozunma noktaları; renkleri ve verimleri Tablo 4.1.'de verilmiştir. Tablo 4.1.'de görüldüğü gibi sentezler sırasında verimler yüksek olmuştur. Yüzde verim dağılım aralığı %65 - %95'dir. Ligandlara göre kompleks sentezlerinden daha yüksek verimler elde edilmiştir. Komplekslerin bozunma noktaları, beklenildiği gibi ligandlardan yüksek çıkmıştır. Erime noktaları ligandlar ve komplekslerde bozunma olarak gözlenmiştir. Aril Diazonyum bileşiklerinin tamamı; DMSO çözünür; DMF'de az çözünür; su, etil alkol, aseton, eter ve dioksanda çözünmez.

5.2. Elementel Analiz Bulgularının Değerlendirilmesi

Sentezlenen 16 yeni bileşigin karbon miktarlarının dağılım aralığı %59.11-%46.21, hidrojen miktarlarının dağılım aralığı %4.59-%3.54, azot miktarlarının dağılım aralığı %22.22-%16.95 arasında hesaplanmıştır. Elementel analiz sonucu bulunan karbon, hidrojen ve azot miktarları aynı çizelgede verilmiştir. Bu çizelge incelendiğinde sentezlenen bileşiklerin elementel analiz bulguları, hesaplanan C, H ve N miktarlarına çok yakın oldukları gözlenecektir (Tablo 4.2.). Ayrıca Tablo 4.2.'de Atomik Absorbsiyon cihazıyla ölçülmüş metal miktarlarıyla birlikte teorik metal miktarları verilmiştir. Elde edilen metal miktarları ile teorik metal miktarları uyum içerisindeidir.

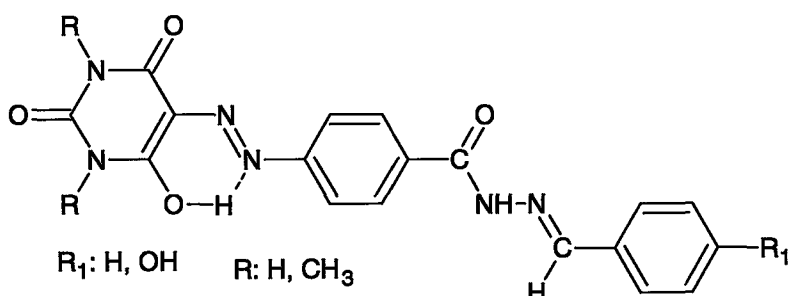
5.3. Kütle spektrumlarının (LC \ MS) Değerlendirilmesi

Sentezlenen dört ligandtan iki tanesinin kütle spektrumları alınmıştır. HL_2 ve HL_3 ligandlarına ait spektrumlar Ek.IV.'de verilmiştir. Moleküler iyon $[\text{M}^+]$ pikleri elementel analizin gösterdiği empirik formüllerle uyum içindedir. HL_2 ligandının mol kütlesi 406 g olarak hesaplanmıştır. HL_2 'nin pozitif polariti kütle spektrumunda m/z 407,01 gözlenen ve bağıl bolluğu, %100 olan pik molekülün $[\text{M}+1]^+$ iyonu ve m/z 408,0'da ortaya çıkan ve bağıl bolluğu %25 olan pik molekülün $[\text{M}+2]^+$ iyonunu göstermektedir. HL_3 ligandının mol kütlesi 394 g olarak hesaplanmıştır. HL_3 'ün pozitif polariti kütle spektrumunda ise m/z 394,0 'de gözlenen bolluğu %8 olan pik molekül iyon piki, m/z 395,0'de ortaya çıkan ve bolluğu %80 olan pik $[\text{M}+1]^+$ iyonun ve m/z 396,0'de gözlenen ve bolluğu %13 olan pik ise $[\text{M}+2]^+$ pikine aittir. Bu değerler HL_2 ve HL_3 yapılarını doğrulamakta yani sentezin gerçekleştigini kanıtlamaktadır.

5.4. ^1H NMR Spektrum Bulgularının Değerlendirilmesi

Ligandların ^1H NMR spektrumlarında 14,14 ile 15,11 ppm arasında görülen singlet bir hidrojenlik piklerin enolik OH protonuna ait olduğu düşünülmektedir. Bu

piklerin düşük alanda ortaya çıkması enolik OH protonunun molekül içi hidrojen bağı yapmasından kaynaklanmaktadır (Şekil.5.1.)



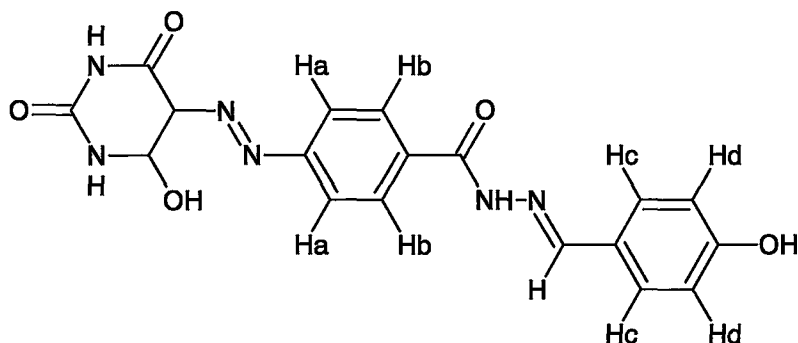
Şekil.5.1. Enolik OH protonlarının molekül içi hidrojen bağı

HL_3 , HL_4 ligandlarının fenolik OH protonları singlet pik olarak 9,94 ve 9,93 ppm'de gözlenmiştir. HL_2 ve HL_4 ligandlarının 1H NMR spektrumlarında amidik NH protonlarına ait singlet pikler 11,40 ve 11,87 ppm'de ortaya çıkmıştır. Buna karşılık HL_1 , HL_3 ligandlarının 1H NMR spektrumlarında 11,37 ile 12,10 ppm arasında ortaya çıkan üç hidrojenlik yayvan pikin, bu bileşiklerin NH protonlarına ait olduğu düşünülmektedir. Bu ligandların yapısında bulunan üç NH protonunun kimyasal çevrelerinin birbirine yakın olmasından dolayı, üç ayrı singlet yerine böyle geniş bir kimyasal değerin ortaya çıktığı düşünülmektedir. Eğer bu ligandların farklı sıcaklık, pH, çözücü ve uzun zaman aralığında 1H NMR spektrumları alınırsa bu piklerin ayırtılabilcegi kanaatindeyiz.

Ligandların 1H NMR spetrumlarında 8,71-8,33 ppm arasında görülen bir hidrojenlik singlet pikler $N=CH$ protonlarına aittir. HL_2 ve HL_4 ligandlarında CH_3 guruplarına ait kimyasal kayma değerleri altı hidrojenlik singlet pik olarak 3,24 ppm'de ortaya çıkmıştır. HL_1 ve HL_2 ligandlarının aromatik protonlarına ait kimyasal kayma değerleri multiplet olarak 7,47-8,26 ppm arasında gözlenmiştir. Buna karşılık, HL_3 ve HL_4 ligandlarının aromatik protonlarına ait kimyasal kayma değerleri, *para*-disübstütie benzen bileşikleri için bekleniği gibi AB sistemine benzer iki hidrojenlik dubletler şeklinde ortaya çıkmıştır. Halkaya bağlı 1,4 pozisyonundaki sübstüentlerin indüktif ve mezomerik etkileri dikkate alınarak, değerlendirme yapıldığında: (Şekil.5.2.)

Hd protonlarına ait doublet-doublet pik HL_3 için 8,02 ppm (d , 2H, $J=8,55$)'de HL_4 için 8,01 ppm (d , 2H, $J=8,61$)'de ; Hb protonlarına ait doublet-doublet pik HL_3 için

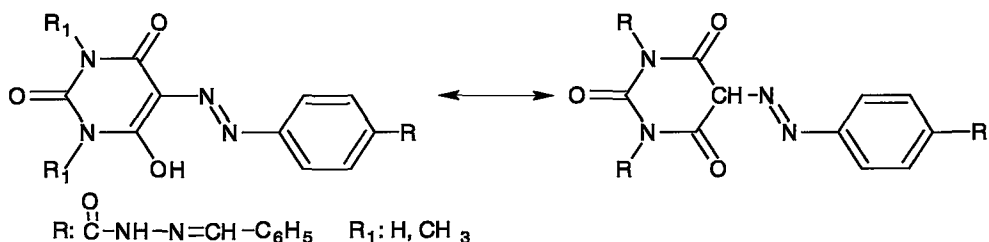
7,71 ppm (d, 2H, J=8,58)'de, HL₄ için 7,75 ppm (d, 2H, J=8,61)'de ; Hc protonlarına ait doublet-doublet pik HL₃ için 7,57 ppm (d, 2H, J=8,37)'de, HL₄ için 7,56 ppm (d, 2H, J=8,48)'de; Ha protonlarına ait doublet-doublet pik HL₃ için 6,85 ppm (d, 2H, J=8,40)'de, HL₄ için 6,85 ppm (d, 2H, J=8,51)'de olacağı düşünülmektedir. Araştırmamızdaki bulgular literatürde verilen değerlerle uyum içindedir (Küçükgüzel, 1999; Song, 2004; Amin, 2001; Ertan, 1997; Amrallah, 1998; Masoud, 2003; Silverstein, vd., 1991).



Şekil.5.2. HL₃ ve HL₄ Ligandlarının aromatik halka protonları

5.5. FTIR Spektrum Bulgularının Değerlendirilmesi

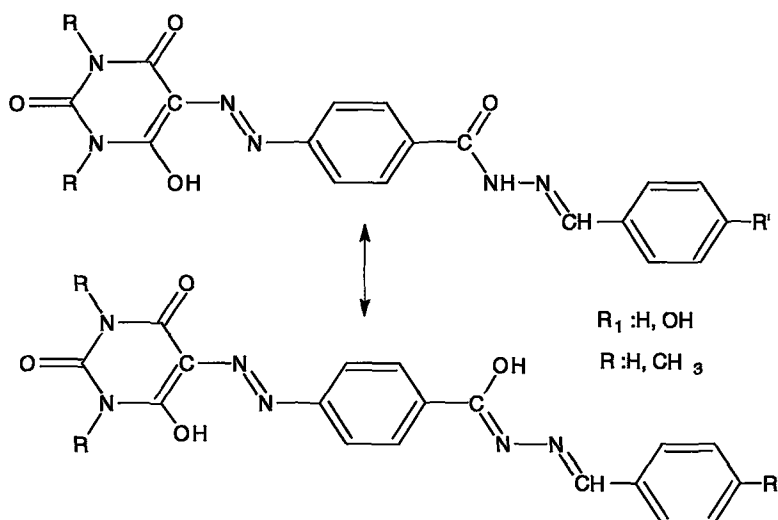
Sentezlenen barbitürik asit diazonium bileşikleri katı halde keto(I) veya enol(II) formunda bulunabilir (Şekil.5.3.).



Şekil.5.3. Ligandların barbitürik asit kısımlarındaki keto-enol tautomerisi

Ligandların FTIR spektrumunda 3100-3400 cm⁻¹'de görülen geniş ve yayvan molekül içi hidrojen bağlı (OH.....N) OH gerilme titreşimleri, 1286-1256 cm⁻¹ bölgesinde gözlenen C-O bağına ait gerilme titreşim değerleri ligandların enol formunda olduklarını gösterir. Ayrıca ligandların barbitürik asit kısımlarına ait 1753-

1724 cm^{-1} ve $1664\text{-}1710\text{ cm}^{-1}$ arasında gözüken iki tane C=O gurubu gerilme piki yapının diketo formunda olduğunu gösterir.



Şekil.5.4. Ligandların hidrazone kısımlarındaki keto-enol tautomerisi

Ligandların hidrazone kısımlarında ayrıca keto veya enol formunda bulunabilir (Şekil.5.4.). Ligandların IR spektrumunda $1635\text{-}1657\text{ cm}^{-1}$ ’de görülen şiddetli C=O gurubu gerilme pikleri katı halde ligandların hidrazone kısminında keto formunda olduğunu gösterir. Ligandların IR spektrumunda $3254\text{-}3230\text{ cm}^{-1}$ bölgesinde omuz olarak görülen piklerin NH guruplarına ait gerilme titreşimleridir. Ligandların hidrazone kısmına ait C=N gerilme pikleri $1603\text{-}1610\text{ cm}^{-1}$ bölgesinde görülmüştür. HL_3 ve HL_4 ligandlarına ait fenolik OH gerilme pikleri ligandların enol formlarının geniş piki ile çakışlığı için ayırt edilememiştir. Diazonyum bileşiklerinin karakteristik piki olan N=N gerilme titreşimleri ise $1445\text{-}1456\text{ cm}^{-1}$ ’de görülmektedir. Ligandlar için verilen bu değerler literatürde barbitürük asidin diazonyum bileşikleri ve hidrazonelar için verilen değerlerle uyum içerisindeidir. (Masoud, 1998; Masoud, 2002; Masoud, 2003; Masoud, 2004; Amrallah, 1998; Ertan, 1997; Song, 2004; Amin, 2001; Küçükgüzel, 1998; Küçükgüzel, 1999)

Sentezlenen komplekslerin FTIR spektrumları incelendiğinde $3400\text{-}3600\text{ cm}^{-1}$ arasında görülen geniş piklerin, elementel analiz sonuçlarına göre de varlığı bulunan suya ait olduğu düşünülmüştür. Ayrıca komplekslerin IR spektrumları serbest ligandların IR spektrumları ile karşılaştırıldığında N=N gurubuna ait gerilme

titreşimlerinin komplekslerde $15\text{--}25\text{ cm}^{-1}$, lik düşük alana kaymaları ligandların N=N gurubundan metallerle koordinasyona girdiğinin bir göstergesidir. Serbest ligandlarda görülen molekül içi hidrojen bağlı OH gerilme piklerinin komplekslerde kaybolması kompleks oluşumu esnasında OH hidrojeninin ayrılp, ligandların C—O⁻ bağından koordinasyona girdiği tahmin edilmektedir.

Ligandların hidrazon kısımlarının C=O ve C=N guruplarına sahip olması kompleksleşmenin bu bölgedede meydana gelebileceğini düşündürmektedir. Ancak serbest ligand ve komplekslerin IR spektrumları incelendiğinde komplekslere ait C=O gurubu ve C=N gurubuna ait gerilme piklerinde önemli değişikliklerin olmaması ve elementel analiz sonuçları ligandların hidrazon kısımlarının komplekse katılmadığını gösterir. Serbest ligandlarda bulunan diğer fonksiyonel guruplara ait pikler komplekslerin IR spektrumlarında aynı bölgelerde görülmüştür. Bizim çalışmamızda bulunan değerler, literatürde verilen bulgularla uyum içerisindeidir. (Ertan, 1997; Song, 2004; Silverstein, vd., 1991).

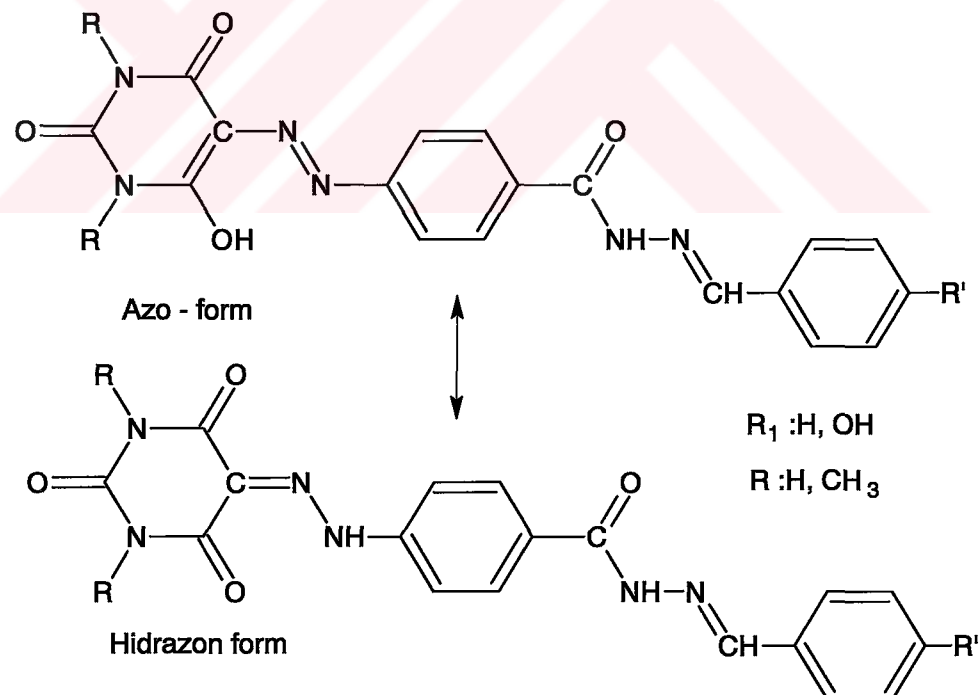
IR spektrum verilerine göre, ligandlar enolik -OH gurubundaki oksijen ve N=N gurubundaki azot üzerinden koordinasyona girmektedir. Bu yüzden sentezlenen barbitürik asit türevlerinin mono bazik ON donör atomlu iki dişli ligand olarak davrandığı düşünülmektedir.

5.6. UV-Vis Spektrumlarının Değerlendirilmesi

Sentezlenen 16 bileşliğin UV-Vis spektrumları alınmış, Ek.I.'de bazı bileşiklere ait spektrumlar ve Tablo 4.1.'de ise λ_{\max} değerleri verilmiştir. Bileşiklerin UV-Vis ölçümelerini yaparken çözücü olarak DMSO kullanılmıştır. Sentezlenen ligand ve kompleksler DMSO'den başka çözüçülerle çözünmediği için sentezlenen bileşiklerin UV spektrumları üzerinde çözüçülerin etkisi incelenmemiştir. Ligandlar UV bölgesinde iki ve görünürlük bölgesinde bir banda sahiptirler. 252–258 nm arasında görülen küçük dalga boylu UV bandının benzen halkasının $\pi\text{-}\pi^*$ geçişine ait olduğu düşünülmektedir. 280–300 nm arasında ortaya çıkan ikinci geniş UV bandı ise muhtemelen ligandların yapısında bulunan >C=O ve —C=N— gruplarına ait n- π^* geçişlerine ait olduğu tahmin edilmektedir. Ayrıca HL₃ ve HL₄ ligandlarının uv-

visible spektrumlarında sırasıyla 314 nm ve 312 nm'lerde görülen omuz şeklindeki piklerinin fenolik OH gurubunun $n-\pi^*$ geçişlerine ait olduğu düşünülmektedir. Ligandların 395–403 nm arasında verdikleri oldukça geniş görünür bölge bandları ise bileşiklerin bütün elektronik sisteminden kaynaklanan $\pi-\pi^*$ geçişlerine ait olduğu tahmin edilmektedir. Ayrıca molekül içinde meydana gelen yük transfer (CT) geçişlerinde görünür bölgede ortaya çıkan bu bandlara katkısının olabileceği düşünülmektedir. Zira bu tip ligandların fenol azo kısmından barbitürük asit (hetero) kısmına yük transferleri meydana gelebilir (Şekil 5.5).

Komplekslere ait uv-vis spektrumlarının λ_{\max} bandlarının ligandlarda gözlenen λ_{\max} bandları ile aynı bölgede çıktıgı gözlenmiştir. Ayrıca komplekslere ait UV-Vis spektrumlarında, kompleks geometrilerinin açıklanmasında yararlı ipuçları verecek olan d-d geçişlerine karşılık gelen bandların zayıf olması ve yük transfer bandları ile liganda ait bandların genellikle çakışır olması nedeniyle d-d geçişleri görülmemiştir. Bu nedenle bu çalışmada kompleks yapılarının açıklanmasında UV-Vis spektrumlarından yararlanılamamıştır.(Gök ve Bekaroğlu, 1981; Silverstein, vd., 1991).



Şekil.5.5. Ligandların azo ve hidrazone formları

5.7. Magnetik Süszeptibilite Sonuçlarının Değerlendirilmesi

Magnetik süszeptibilite ölçümleri, komplekslerin geometrik yapıları hakkında bilgi vermektedir. Bu nedenle sentezlenen 12 kompleksin magnetik süszeptibilite ölçümleri değerlendirilerek toplu halde Tablo 4.1.'de verilmiştir. $[\text{Co}(\text{L}_1)_2(\text{H}_2\text{O})_2]3.\text{H}_2\text{O}$, $[\text{Co}(\text{L}_2)_2(\text{H}_2\text{O})_2]3.\text{H}_2\text{O}$, $[\text{Co}(\text{L}_3)_2(\text{H}_2\text{O})_2]3.\text{H}_2\text{O}$, $[\text{Co}(\text{L}_4)_2(\text{H}_2\text{O})_2]3.\text{H}_2\text{O}$ komplekslerinin oda sıcaklığındaki magnetik süszeptibilite değerleri sırasıyla; 3.60, 3.76, 3.55, 3.64 BM olarak bulunmuştur. Üç eşleşmemiş elektron bulunduran d^7 elektron konfigürasyonundaki sp^3d^2 hibritleşmesi yapmış Co(II)'nin paramagnetik ve oktaedral yapıdaki kompleksler için hesaplanan magnetik süszeptibilite değeri 3.87 BM dir. Görüldüğü gibi deneyel veriler teorik bulgular ile uyum içindedir. (Tunalı ve Özkar, 1993).

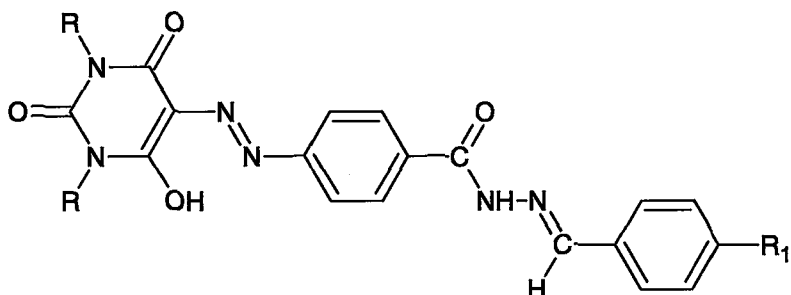
$[\text{Cu}(\text{L}_1)_2(\text{H}_2\text{O})_2].\text{H}_2\text{O}$, $[\text{Cu}(\text{L}_2)_2(\text{H}_2\text{O})_2].\text{H}_2\text{O}$, $[\text{Cu}(\text{L}_3)_2(\text{H}_2\text{O})_2].\text{H}_2\text{O}$ ve $[\text{Cu}(\text{L}_4)_2(\text{H}_2\text{O})_2].\text{H}_2\text{O}$ komplekslerinin, magnetik moment değerleri ise sırasıyla; 1.92, 1.85, 1.76, 1.82 BM olarak ölçülmüştür. Bu değerler, beklenildiği gibi bir eşleşmemiş elektrona karşılık gelen d^9 metal iyonları için hesaplanan 1.73 BM değerine yakındır (Tunalı ve Özkar, 1993).

$[\text{Ni}(\text{L}_1)_2(\text{H}_2\text{O})_2]3.\text{H}_2\text{O}$, $[\text{Ni}(\text{L}_2)_2(\text{H}_2\text{O})_2]3.\text{H}_2\text{O}$, $[\text{Ni}(\text{L}_3)_2(\text{H}_2\text{O})_2]3.\text{H}_2\text{O}$ ve $[\text{Ni}(\text{L}_4)_2(\text{H}_2\text{O})_2]3.\text{H}_2\text{O}$ komplekslerinde, magnetik moment değerleri ise sırasıyla; 2.89, 3.02, 2.94 ve 2.90 BM olarak ölçülmüştür. Bu değerler Ni(II) komplekslerinin sp^3d^2 hibritleşmesi yaptığı ve oktaedral geometride olduğunu göstermektedir.

5.8. Ligandlar ve Kompleksler İçin Önerilen Yapılar

5.8.1. Ligandların yapıları

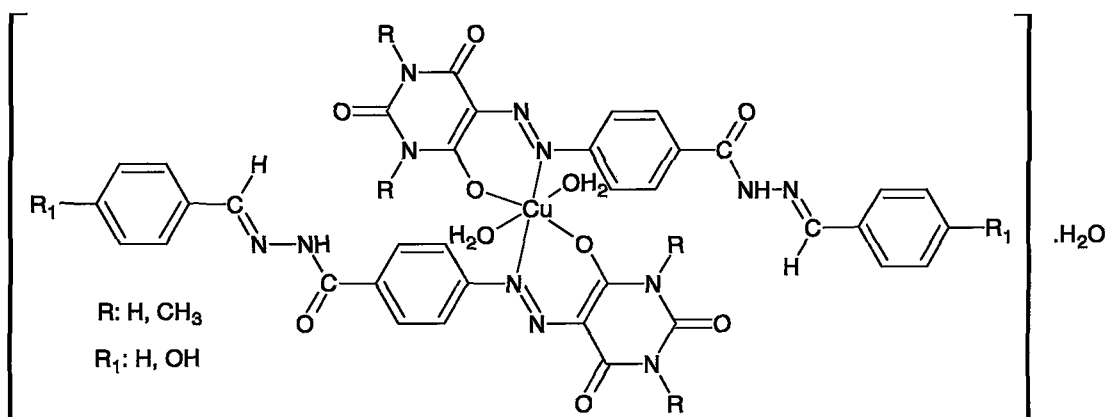
Literatürde bulunmayan dört yeni liganda ait önerilen yapı şekil 5.6.'dır.



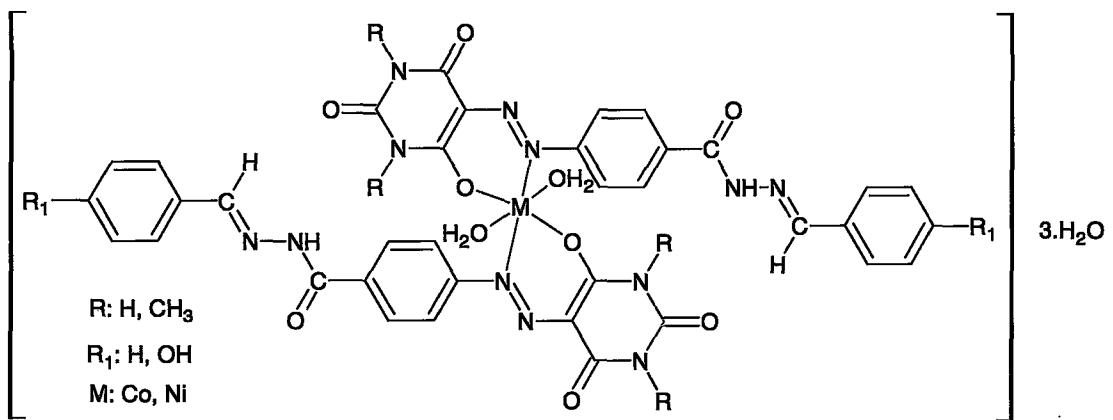
Şekil.5.6. Ligandlar için önerilen yapı

5.8.2. Komplekslerin yapıları

Sentezi yapılan dört yeni ligatın Ni(II), Cu(II) ve Co(II) metal kompleksleri elde edilmiştir. Metal kompleksleri paramagnetik özellikte oldukları için ^1H NMR spektrumları alınamamıştır. Komplekslerin yapılarının aydınlatılmasında IR spektrumları, magnetik süszeptibilite, elementel analiz ve atomik absorbсиyon sonuçlarından yararlanılmıştır. Cu(II) ve Ni(II) kompleksleri için önerilen yapı Şekil.5.7.'de, Co(II) kompleksleri için önerilen yapı ise Şekil.5.8.'de verilmiştir.



Şekil.5.7. Cu(II) Kompleksleri için önerilen yapı



Şekil.5.8. Co(II) ve Ni(II) Komplekslerinin önerilen yapıları

KAYNAKLAR

- Amin, A.S. And Mohammed, T.Y., 2001. Simultaneous Spektrophotometric Determination of Thorium and Rare Earth Metals with Pyrimidine Azo Dyes and Cetylpyrimidinium Chloride. *Talanta* (54) : 611-620.
- Amin, A.S., Mohammed, T.Y., Mousa A.A., 2003. Spectrophotometric Studies and Applications for the Determination of Yttrium in Pure and in Nickel Base Alloy. *Spectrochimica Acta, Part A.*, (00) : 1-8.
- Amrallah, A.H., Abdalla, N.A., El-Haty, E.Y., 1998. Mixed Ligand Complexes of Benzimidazole and Pyrimidine Hydroxy Azo Dyes with Some Transition Metals and Glycine, DL-Alanine or DL-Leucine. *Talanta*, (46) : 491-500.
- Buckingham, D. A., Clark, C. R., McKeown, R. H., Ooi, W., 1984. C-H Acidity of Barbituric Acids, *J. Chem. Soc., Chem. Commun.*, : 1440-1441.
- Bekaroğlu, Ö., Tan, N., 1990. *Anorganik Kimya I.*, Gazi Üniversitesi Fen Fakültesi Yayınları, Ankara.
- Beyer, C., Claisen, L., 1888. Ein Beitrag zur kenntniss der gemischten Azoverbindungen. *ibid.*, (21) :1697.
- Bülow, C., Ganghofer, A., 1904. Beitrag zur kenntniss der Mesoxalsaureester-phenylhydrazons und seiner Derivate. *ibid.*, (37) :4169.
- Chandra, R., Ghosh, N.N., 1991. Thermal and ^1H NMR Studies on Some Azo Derivatives of Barbituric Asi. *Thermochimica Acta.*, (189) :83-89.
- Douelle, F., Preparation of Pyridinium and Diaminocarbonium Barbituric Acid Ylides, A Thesis, Manchester Metropolitan University, U.K., 2003.
- Durgun, B., *Aktif Alifatik C-H Bileşiklerinin Diazonyum Tuzları ile Ketenlenme Ürünleri, Bunlardan Türeyen Bazi Heterosiklik Yapıların Sentezi ve Spektroskopik Verileri*', Doktora Tezi, İstanbul Üniversitesi Sağlık Bilimleri Enstitüsü Eczacılık Fakültesi, İstanbul, 1987.
- El-Haty, M.T., Amrallah, A.H., Selim, M.A., 1991. *Bull. Soc. Chim. Fr.*, (128) : 869.
- Ergenç, N., Rollas, S., 1975. The Coupling Products of Aliphatic Active C-H Compounds with Diazonium Salts I., *J. Fac. Pharm. İstanbul*. (11) : 8.
- Ergenç, N., Demir, S., Rollas, S., Özdemir, F., Özcekiç, H., 1976. The Coupling Products of Aliphatic Active C-H Compounds with Diazonium Salts II., *ibid.*, (12): 132.

- Ergenç, N., Özdemir, F., 1980. Malon Esterinden Türeyen Bazı Hidrazonomalon Esterleri., *Doğa Bilim Dergisi Tip.*, (4) : 37.
- Ergenç, N., Özdemir, F., 1981. Bazı Azilhidrazono Mezoksalildihidrazitler., *ibid.*, (5) : 17.
- Ergenç, N., Özcekiç, H., 1981. The Coupling Products of Chloroacetone with Azyldiazonium Salts, *J. Fac. Pharm. İstanbul.*, (17) : 1.
- Ertan, N., Gürkan, P., 1997. Synthesis and Properties of Some Azo Pyridone Dyes and Their Cu(II) Complexes. *Dyes and Pigments.*, Vol. 33., (2) :137-147.
- Favrel, G., 1930. Recherches sur le mecanisme de la production d'hydrazones a partir des diazoïques et des derives alcoyles des ethers: acetylacetiques, maloniques et cyanacetiques. *Bull. Soc. Chim. France.*, (47) :1290.
- Figueroa-Villar, Clemente F.C., Silva C.C., 2001. Synthesis and charecterization of 5-Diaminomethylidene Barbiturate., *J. Braz. Chem. Soc.*,(12) : 247-254
- Filaut J.L., Price M., Johnson A.L., Prruchon J., 2001. Synthesis of a double activated switchable via ruthenium-acetylide barbituric derivative. *Chem.Chomm.*,: 739-740
- Fodor, V. G., Szarvas, P., 1943. Spektrogaphische Untersuchung einiger azoverbinduegen und Hydrazone. *Ber.*, (76) : 334.
- Friese, P., 1875. Kenntniss der gemischten azoverbindungen. *ibid* ., (8) : 1078.
- Furniss, B.S., Hannoford, A.S., Smith, P.W., Tatchell, A.R. 1978. *Textbook of Practical Organic Chemistry.*, New York. 835, 920, 927.
- Gompper, R., Kuntz, R., 1985. *Chem. Ber.*, (98) : 1391.
- Gök, Y., Bekaroğlu, Ö., 1981. The Synthesis and Complex Formation of Stereoisomers of Some New vic-Dioxime. *Synth. React. Inorg. Met. Org. Chem.*, (11) : 621.
- Griefs, P., 1860.Ueber eine neue klasse organischer Verbindungen, welche Wasserstoffdurch Stickstoffvertreten enthalten. *Ann.*,: 113, 201.
- Griffith, J. S., Orgel, L. E., 1957. *Ligand-Field Teory*, Quart. Revs., (11) : 381-389.
- Gulliya, K.S., 1999. *Chem. Edu.*, U.S. Patent (5) : 869, 494.
- Huang X., Chen B., 1986. Synthesis of bisalkylthiolylide derivatives of meldrum's acid and barbituric acid. *Synthesis.*, :967-969.
- Huheey, E.J., 1972. *Inorganic Chemistry, Principles of Structure and Reactivity*, Harper and Row, New York.

- Ian, L. And et. al., 1987. Coordination Chemistry of Semiconductor Photoelectrodes: Reactions of Etched n-GaAs with Co(III) Complexes. *J.Am. Chem. Soc.* (109) : 3472-3474.
- Ibrahim, S.A., Hammam, A.M., Kamal El-Dean, A.M., Mohamed, A.A., Rageh, N.M., 1993. *Can. J. Appl. Spectrosc.*, (38) : 1.
- Japp, F. R., Klingemann, F., 1887. Ueber sogenannte gemischte Azoverbindungen., *ibid.*, (20) 3398.
- Jursic B., Douelle F., Stevens E., 2003. Preparation of 5-diaminomethylidene barbiturates by barbituric acid addition carbodiimides.
- Komurcu, S.G., Rollas, S., Ulgen, M., Gorrod, J.W., Cevikbas, A., 1994. *Boll Chim. Farm.* 134 (7) : 375-379.
- Küçükgüzel, S.G., Rollas, S., Küçükgüzel, İ., Kiraz, M., 1999. Synthesis and Antimycobacterial Activity of Some Coupling Products from 4-Aminobenzoic Acid Hydrazones. *J. Med. Chem.*(34) : 1093-1100.
- Küçükgüzel, S.G., Rollas, S., Erdeniz, H., Kiraz, M., 1999. Synthesis, Characterization and Antimicrobial Evaluation of Ethyl 2-Arylhydrazone-3-Oxobutyrate. *J. Med. Chem.*, (34) :153-160.
- Langet A., Latypov N.V., Wellmar U., Goede p., Bergman J., 2000. Synthesis and rections of 5,5-dinitrobarbituric acid. *Tetrahedron letters*, (41) : 2011-2013.
- Mahmoud, M.R., Awad, A.M., Shaker, A.M., 1985. *Spectrochimica Acta* 41A., (10) : 1177.
- Masoud, S.M., Ibrahim, N.A., Abou Ali., S.A., 1986. Stability Constants of Lanthanides(III), Nickel(II) and Copper(II) Complexes of 5-(2-Substituted phenly azo) Barbituric Acid. *Indian Journal of Chemistry.*, (25A) : 389-391.
- Masoud, Mamdouh S., and et. al., 1986. Conducting Properties of some Azo Complexes. *Reactivity of solids*, (2) : 269-276.
- Masoud, M.S., Soliman, E.M., Elkholly, A.E., Khalil, E.A., 1987. Temperature and Substituent Effects on The Dissociation Constants of Some 5-(p-Substituted Phenylazo) Barbituric Acid Compounds. *Thermochimica Acta.*, (136) : 1-6.
- Masoud, S.M., Mohamed, G.B., etc., 2002. Spectral, Magnetic, and Thermal Properties of Some Thiazolylazo Complexes. *Journal of the Korean Chem. Society.*, (2) 99-116.
- Masoud, S.M., Soayed, A.A., Ali, A.E., 2003. Synthesis and Characterization of New Azopyrimidine Complexes. *J. Coord. Chem.*, Vol. 56, (8) : 725-742.

Masoud, S.M., Khalil, E.A., etc., 2004. Spectroscopic Studies on Some Azo Compounds and Their Cobalt, Copper and Nickel Complexes. *Spectrochimica Acta Part A.*, (60) : 2807-2817.

McKeown, R.H., 1980. Fierst Thermodynamic Dissociation Constant of 5,5-disubstituted Barbituric Acids in Water at 25 °C. *J. C. S. Perkin II.* (1) : 504-522.

Meyer, V., Ambühl, G., 1875. Zur Kenntniss der gemischten Azoverbindungen., *Ber.*, (8) :1073.

Meyer, V., Ambühl, G., 1875. Vorläufige mittheilung über eine neue Klasse von azoverbindungen., *ibid.*, (8) :751.

Meyer, V., 1876. Zur Kenntniss der gemischten azoverbindungen., *ibid.*, (9) : 384.

Meyer, V., 1877. Einführung stickstoffhaltiger Radicale in Fettkörper., *ibid.*, (10) : 2075.

Meyer, R., 1888. Notiz über Benzol-Azomalonsaure., *ibid.*, (21) : 118.

Meyer, V., 1888. Ueber die constitution der gemischten Azoverbindungen. *ibid.*, (21) : 11.

Moser, j., and et. al., 1991. Surface Complexation of colloidal semiconductors strongly enhances interfacial electron- transfer rates. *Longmuir*, 7, (30) : 12-18.

Moskvin A.V., Reznikova N.R., Iviv B.A., 2002. Condensation of Hydroxy pyrimidines with Carbonyl Compounds: I. Barbituric acids. *Russ.J.Org. Chem.*, (38) : 463-474.

Rageh, N.M., 2004. *Spectrochimica Acta Part A.*, (60) : 1917-1924.

Richard, P. Von Duyne, and et. al., 1985. Surface-enhanced resonance raman spectroscopy of transition metal (Fe and Ru) complexes on Ag/GaAs and Ag/Si. *J. Phys. Chem.*, (89) : 4055-4061.

Sakai, K., Satoh, Y., 2000. *Chem. Abstr.*, International Patent, W099502522A3

Schoutissen, H. A. J., 1921. The velocity of the diazotization reaction as a contribution to the problem of substitution in the benzene ring. II.The character of the diazonium group. *Rec. Trav. Chim.*, (40) : 763.

Silverstein, R.M., Bassler, G.C., Morrill, T.C. 1991. *Spectrometric Identification of Organic Compounds.*, John Wiley & Sons, Inc. 5th. Ed.

Song, H., Chen, K., Wu, D., Tian, H. 2004. Synthesis and Absorption Properties of Some New Azo-Metal Chelates and Their Ligands., *Dyes and Pigments*, (60) : 111-119.

Sreekanth, P.B., Chandini R.N., Prathapachandra, M.R., Usman, A., Razak, I.A., Chantrapromma, S., Fun, H.K., 2003. *Journal of Molecular Structure*, (645) : 221-226.

Stevens, H. R., Ward F. W., 1924. Tautomerism of the mesoxalic Acid and Pyruvic Acid Phenylhydrazones. Evidence for the Hydrazone Structure of the Tautomerides. *J. Chem. Soc.*, (125) :1324.

Tunalı, N.K., Özkar, S., 1993. *Anorganik Kimya*, Gazi Üniversitesi. Ankara.

Tüzün, C., 1996. *Organik Kimya*, Ankara.

Züblin, J., 1877. Zur Kenntniss des primären Isonitrobutans. *ibid.*, (10) : 2087.

Züblin, J., 1878. Zur Kenntniss der Azobenzalacetessigsäure und ihrer Homologen. *ibid.*, (11) : 1417.

Westhorpe R.N., Ball C., 2002. The intravenous barbiturates. *International Congress Series.*, (1242) : 57-69.

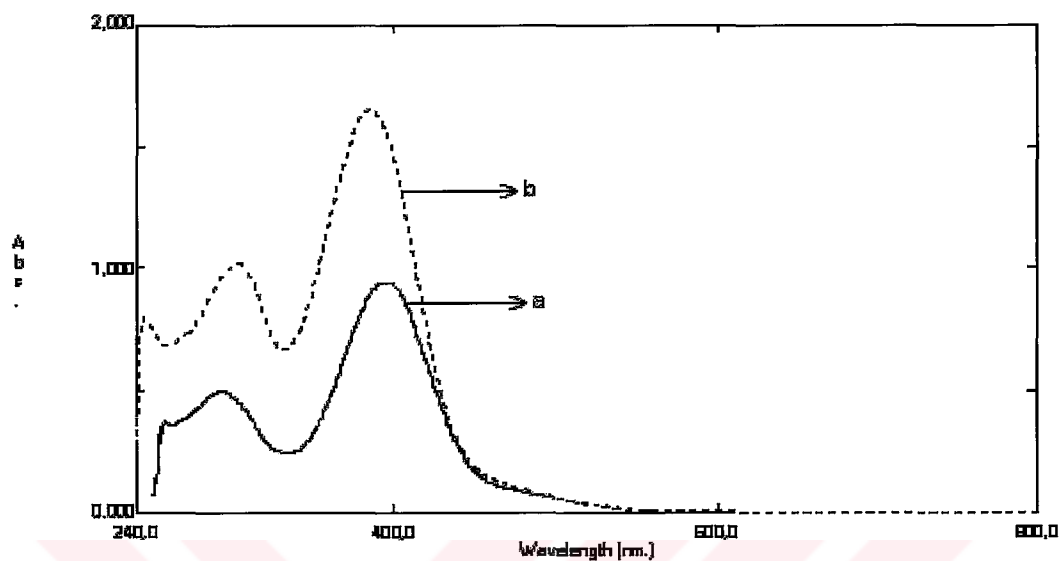
ÖZGEÇMİŞ

01.06.1977 tarihinde Muğla'da doğdu. İlk ve orta öğrenimini Muğla'da tamamladı. 1995 yılında Muğla Turgut Reis Lisesinden mezun oldu. 1997 yılında Muğla Üniversitesi, Fen-Edebiyat Fakültesi Kimya Bölümünde lisans öğrenimine başladı. 2001 yılında lisans öğrenimini bölüm ikincisi olarak bitirdi. 2002 yılında Muğla Üniversitesi, Fen Bilimleri Enstitüsü Kimya Anabilim dalında yüksek lisans öğrenimine başladı ve bu süre içerisinde Muğla Üniversitesi, Fen-Edebiyat Fakültesi Kimya Bölümünde araştırma görevlisi olarak çalıştı. Evlidir.

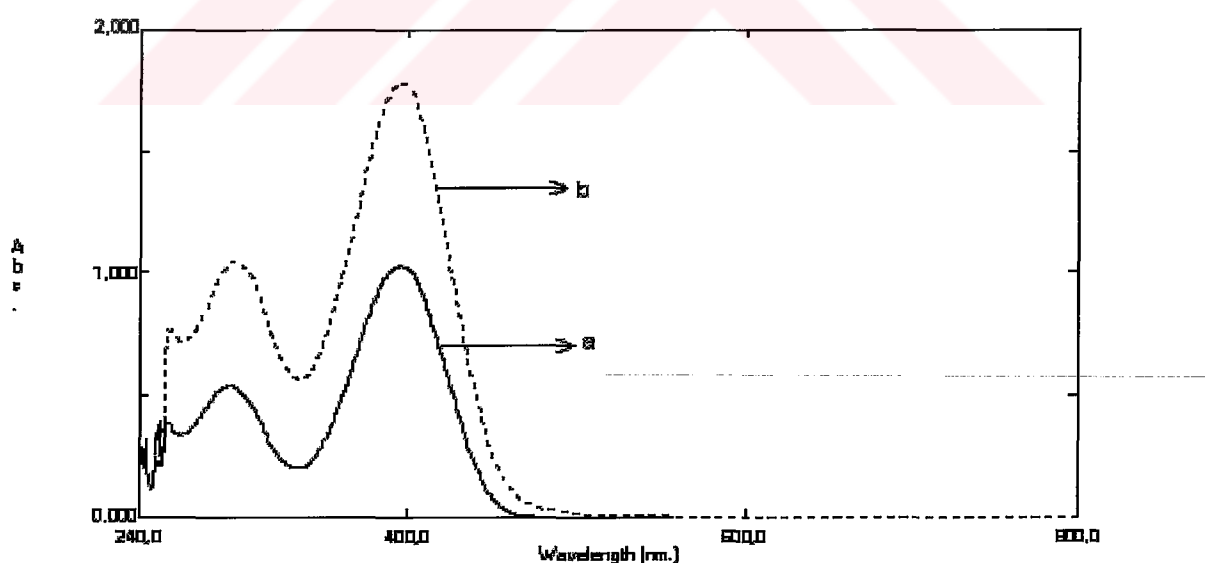
EKLER

EKİ. Ligand ve Komplekslerin UV-Visible Spektrunları

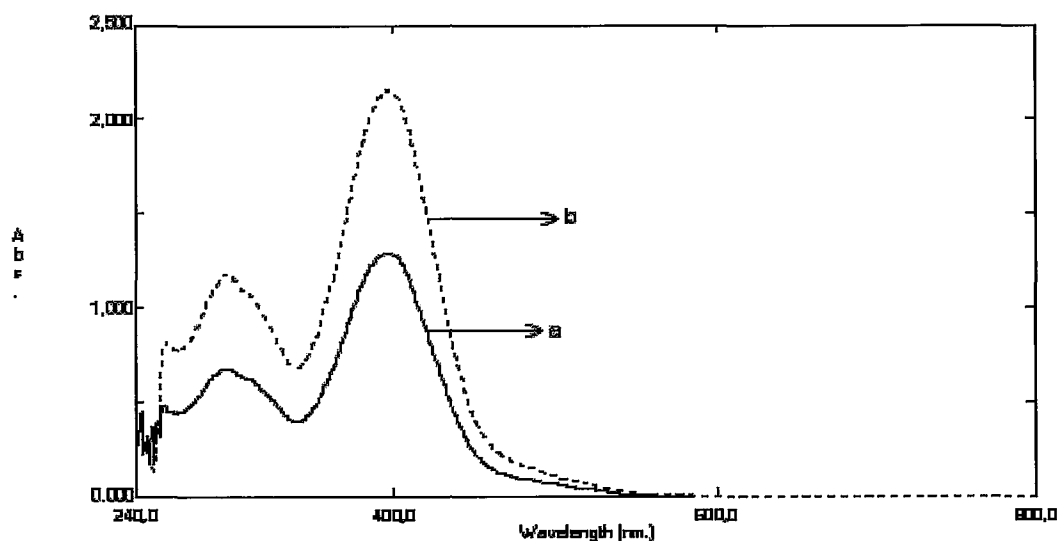
Şekil 1. HL_1 Ligandı (a), $[\text{Co}(\text{L}_1)_2(\text{H}_2\text{O})_2] \cdot 3\text{H}_2\text{O}$ Kompleksi (b)



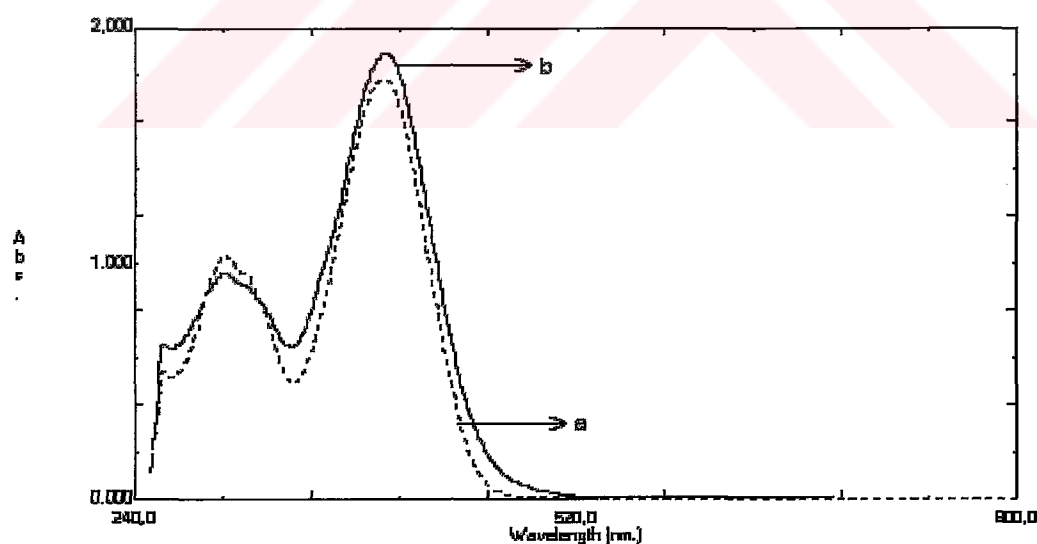
Şekil 2. HL_2 Ligandı (a), $[\text{Ni}(\text{L}_2)_2(\text{H}_2\text{O})_2] \cdot 3\text{H}_2\text{O}$ Kompleksi (b)

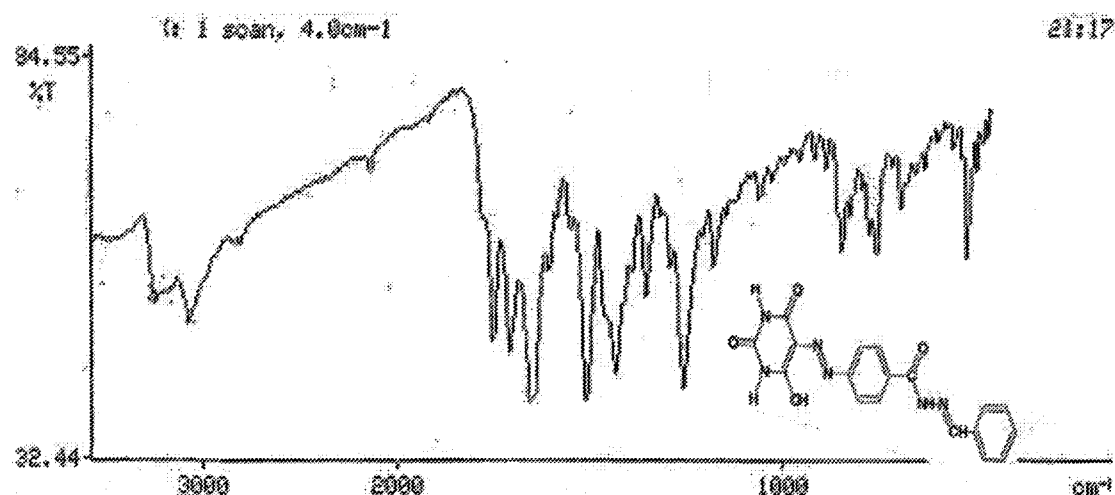


Şekil 3. HL_3 Ligandi (a), $[\text{Co}(\text{L}_3)_2(\text{H}_2\text{O})_2] \cdot 3\text{H}_2\text{O}$ Kompleksi (b)

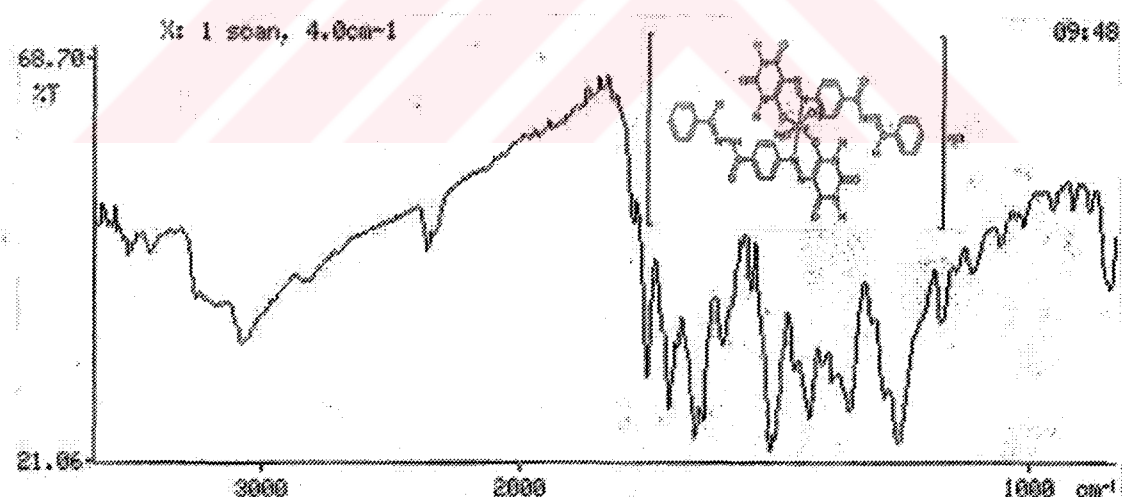


Şekil 4. HL_4 Ligandi (a), $[\text{Cu}(\text{L}_4)_2(\text{H}_2\text{O})_2] \cdot \text{H}_2\text{O}$ Kompleksi (b)

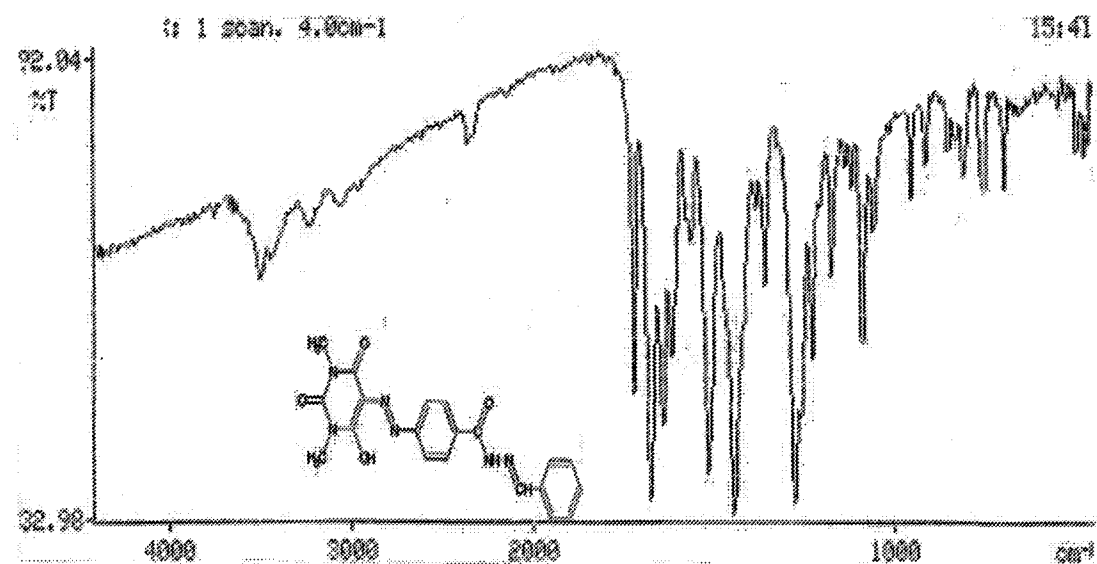


EK.II. Ligandların ve Komplekslerin IR Spektrumları

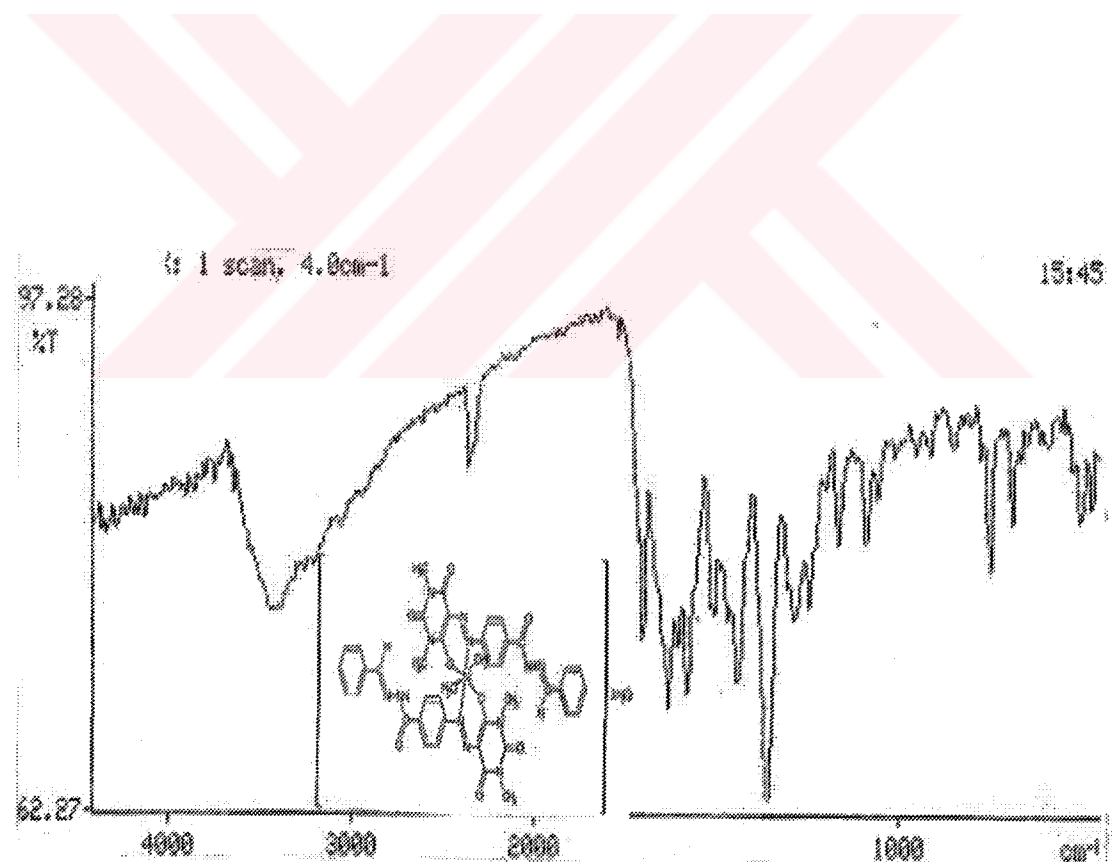
Şekil.1. HL₁ Ligandının IR Spektrumu



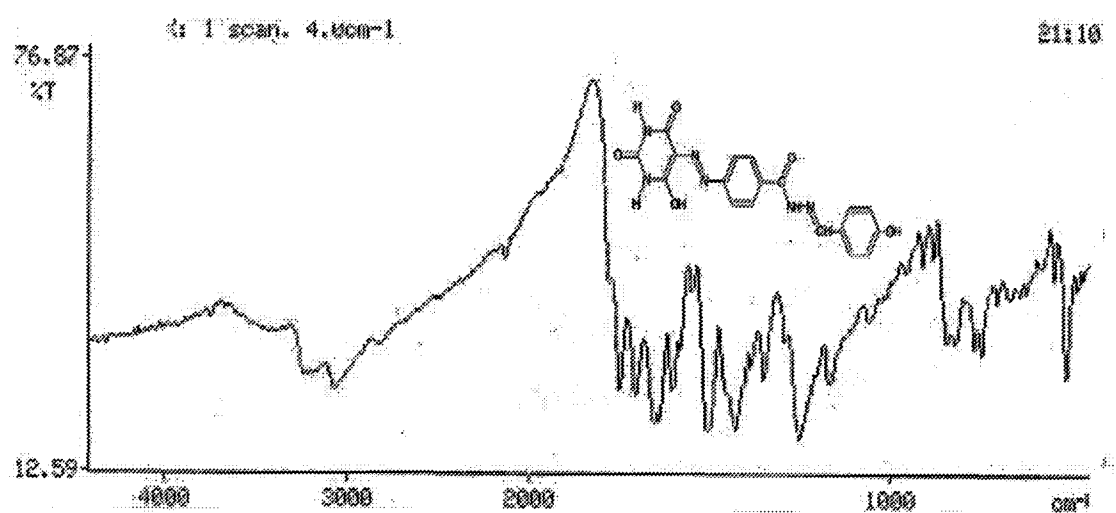
Şekil.2. HL₁ Ligandının Cu(II) Kompleksinin IR Spektrumu



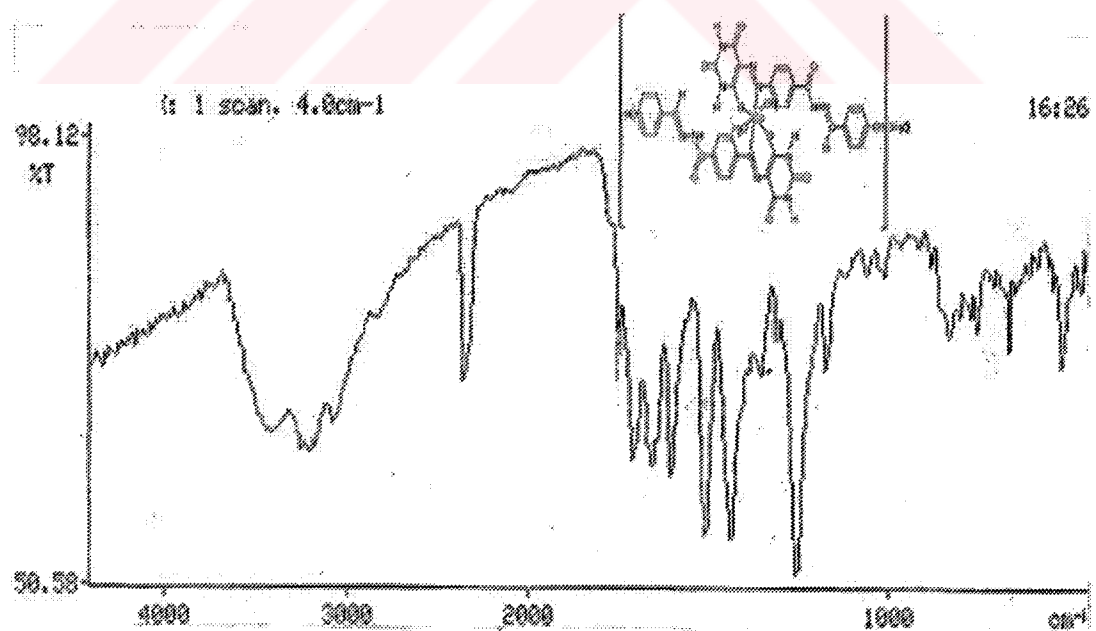
Şekil.3. HL₂ Ligandının IR Spektrumu



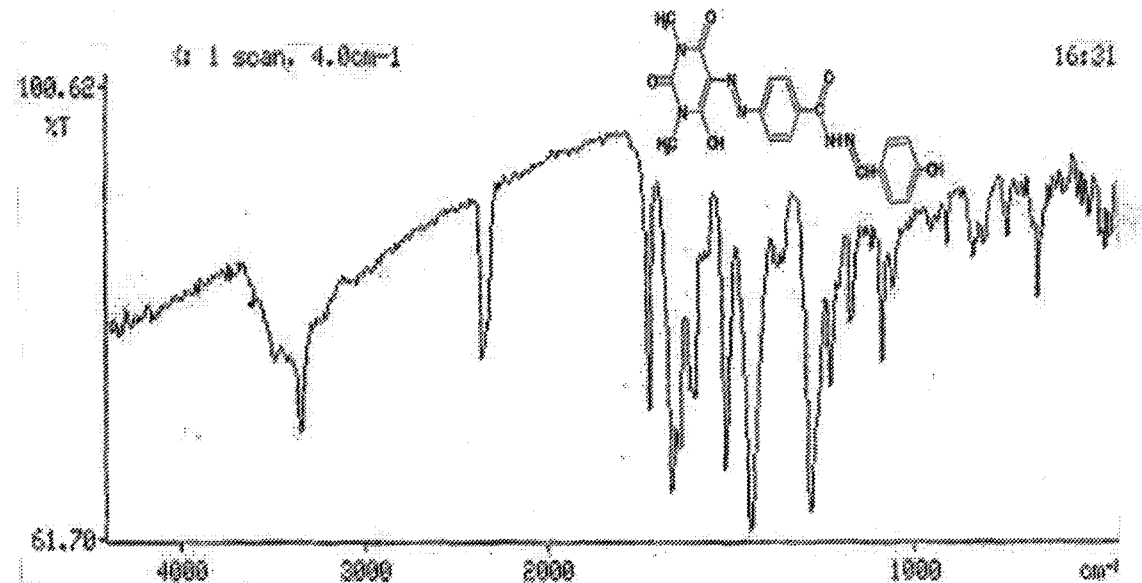
Şekil.4. HL₂ Ligandının Ni(II) Kompleksinin IR Spektrumu



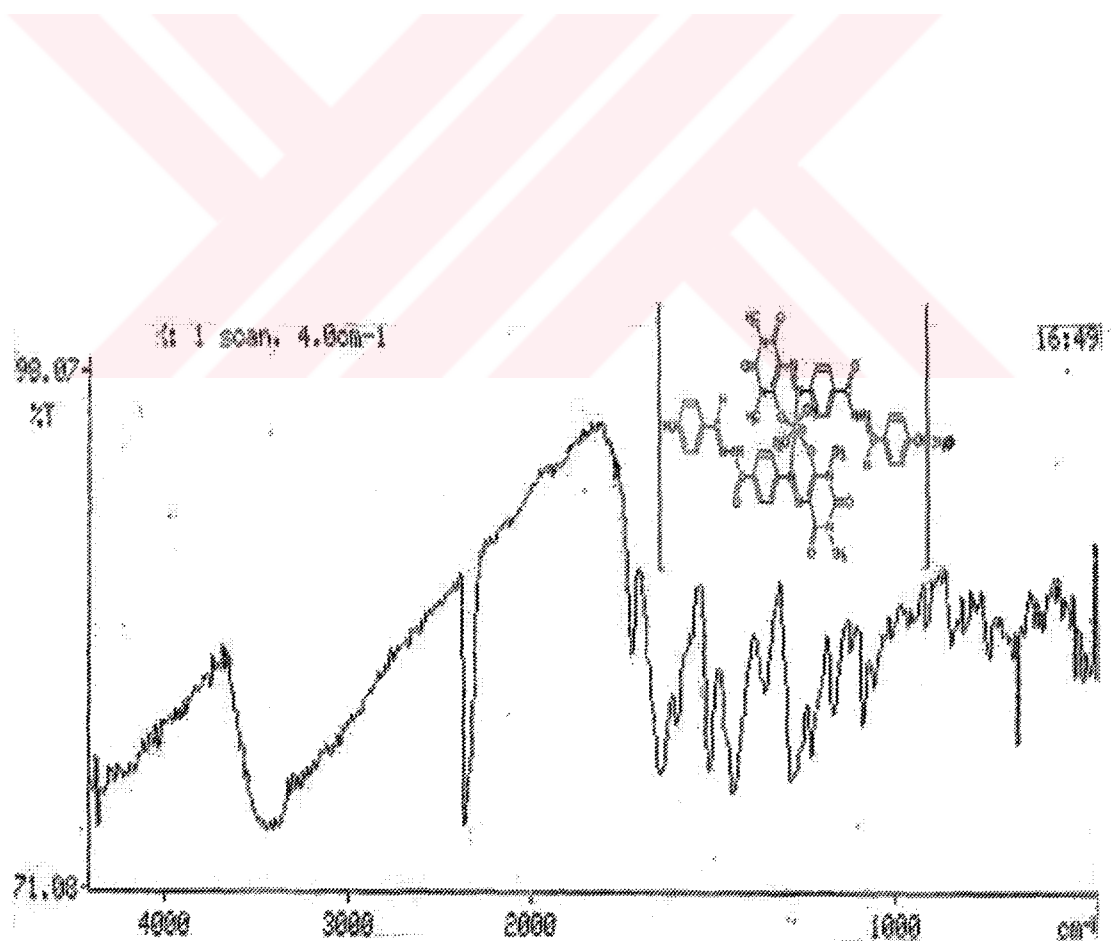
Şekil.5. HL₃ Ligandının IR Spektrumu



Şekil.6. HL₃ Ligandının Co(II) Kompleksinin IR Spektrumu

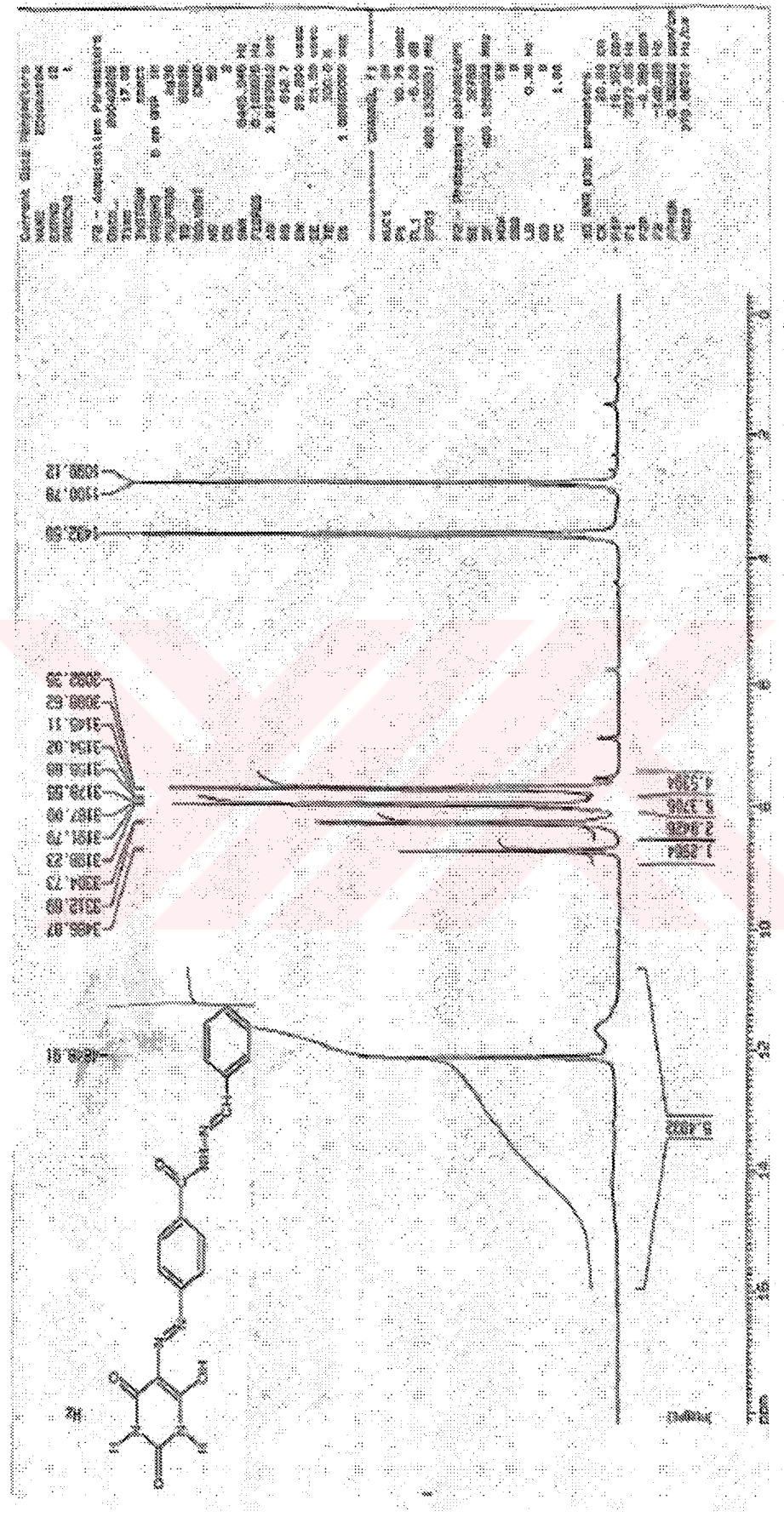


Sekil.7. HL₄ Ligandının IR Spektrumu

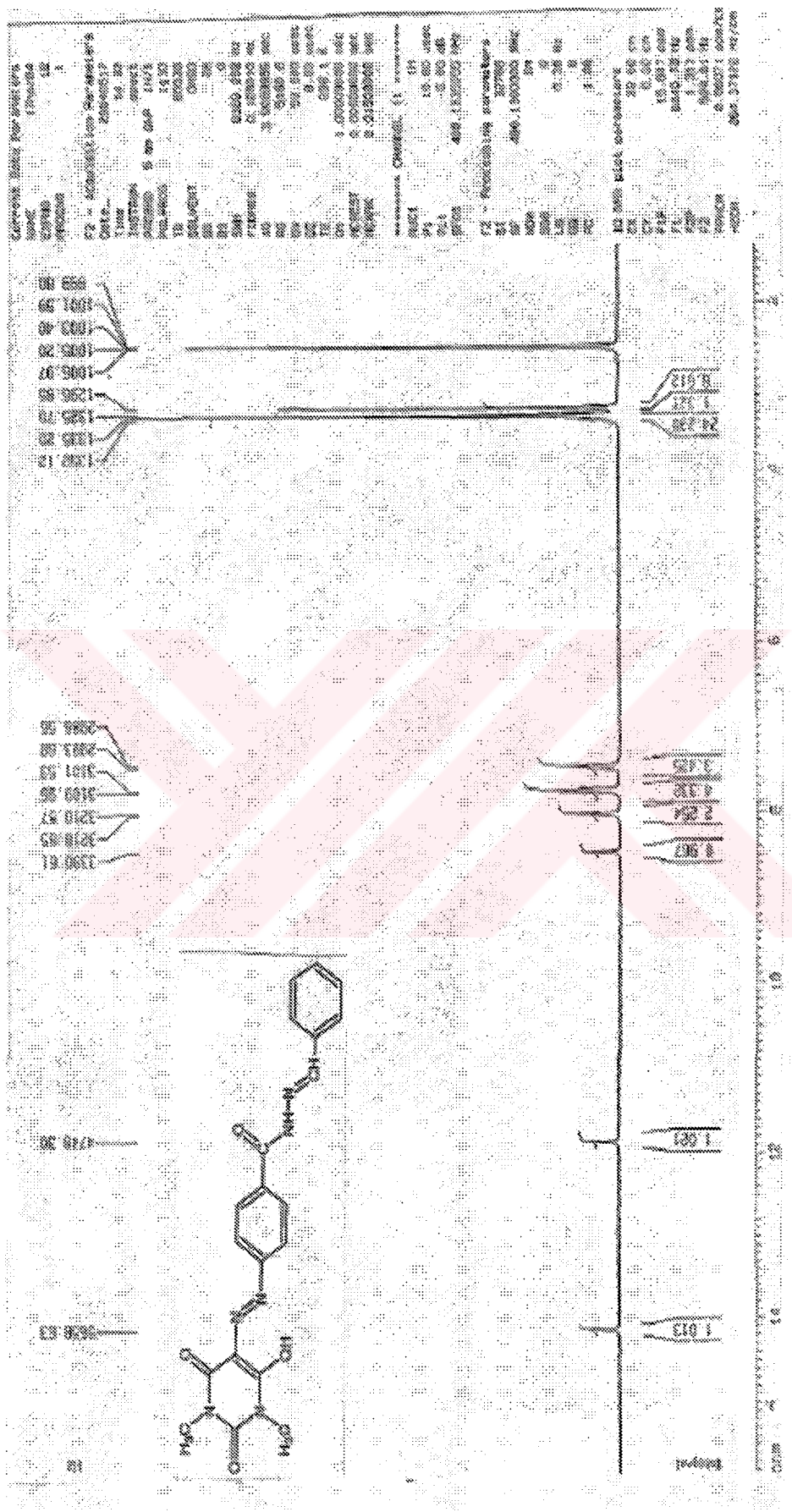


Sekil.8. HL₄ Ligandının Co(II) Kompleksinin IR Spektrumu

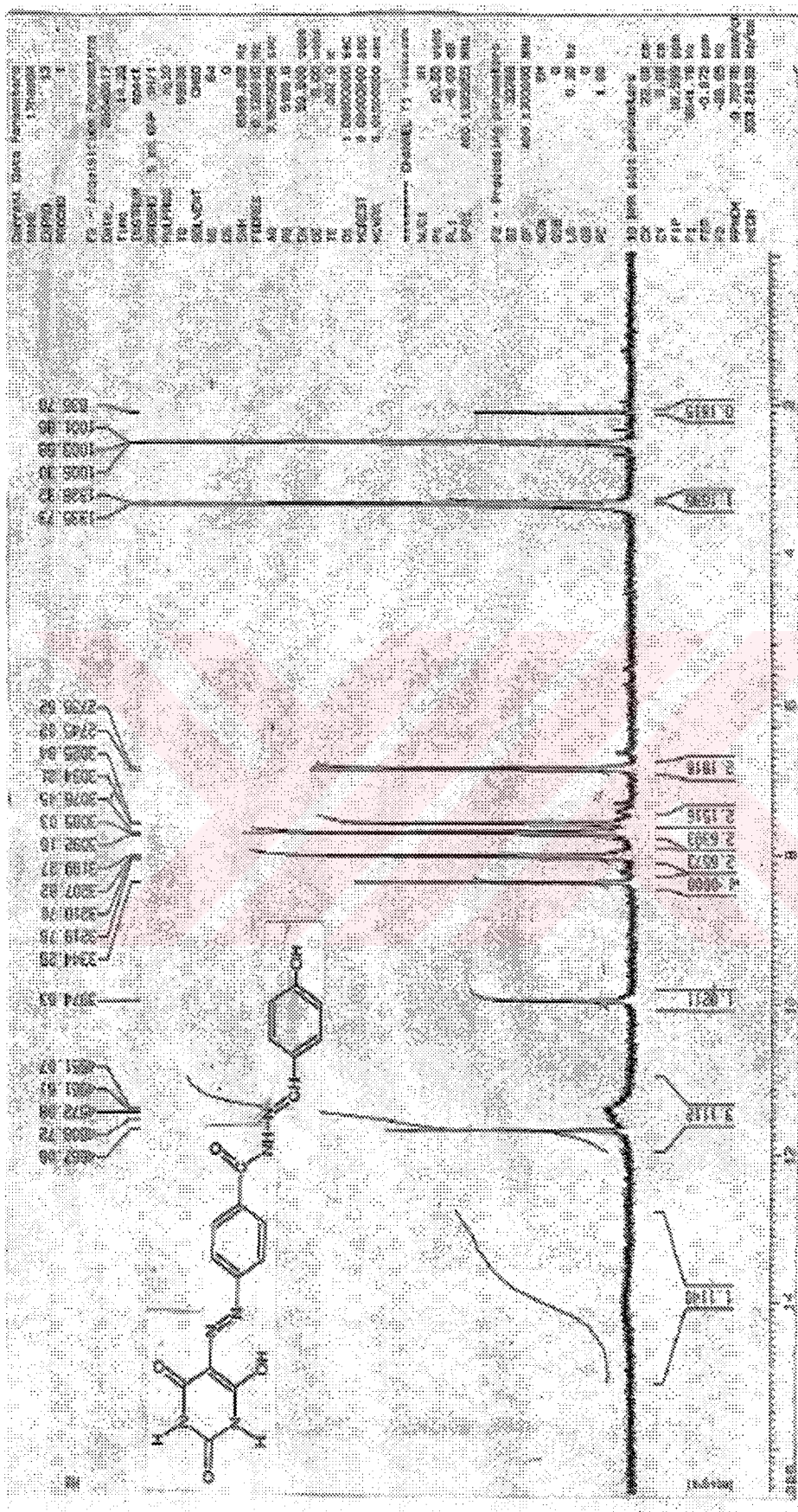
EK III. Ligandların ^1H NMR Spektrumları



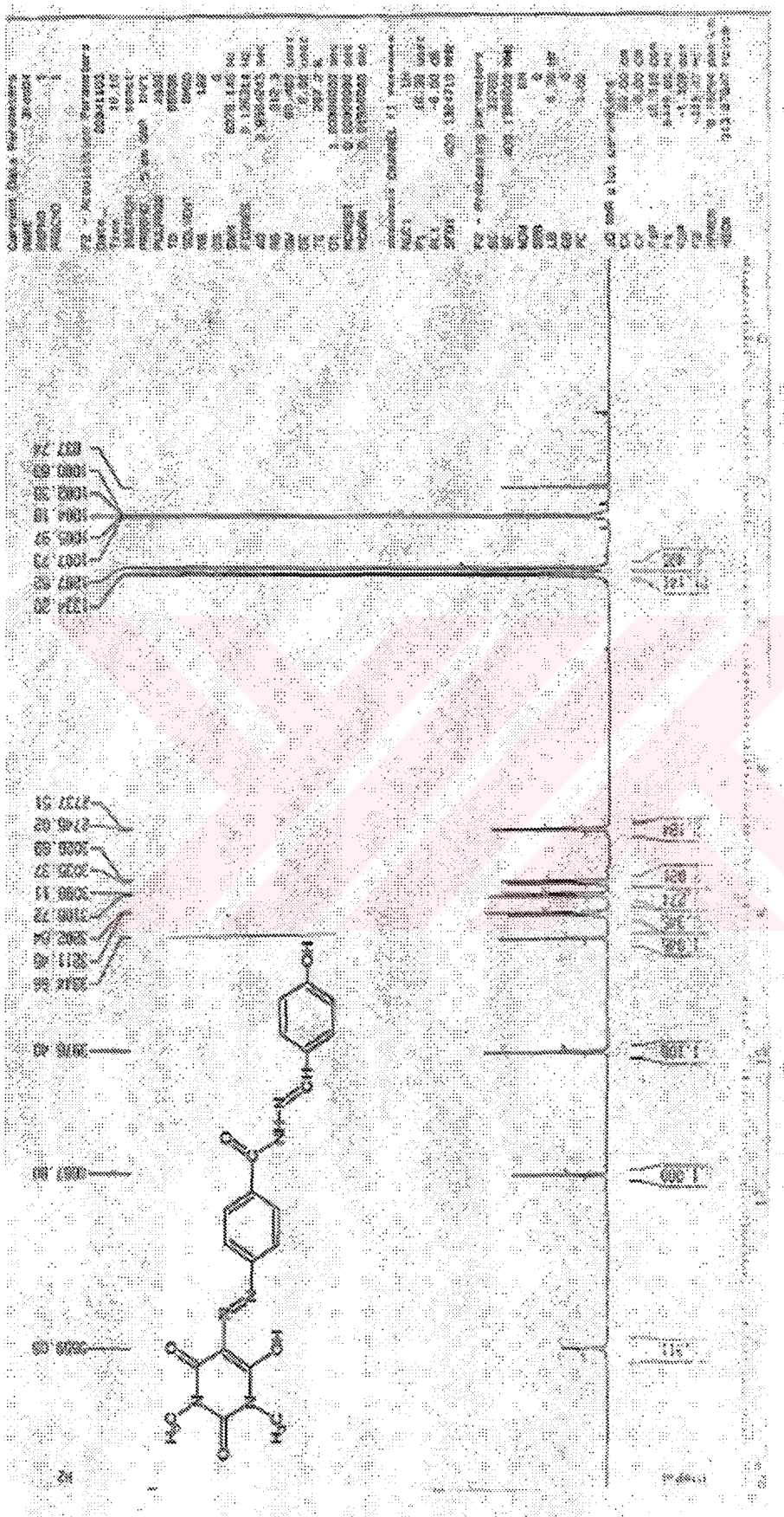
Sekil.1. HL₁ Ligandının ^1H NMR Spektrumu



Şekil 2. HL_2 Ligandının ^1H NMR Spektrumu

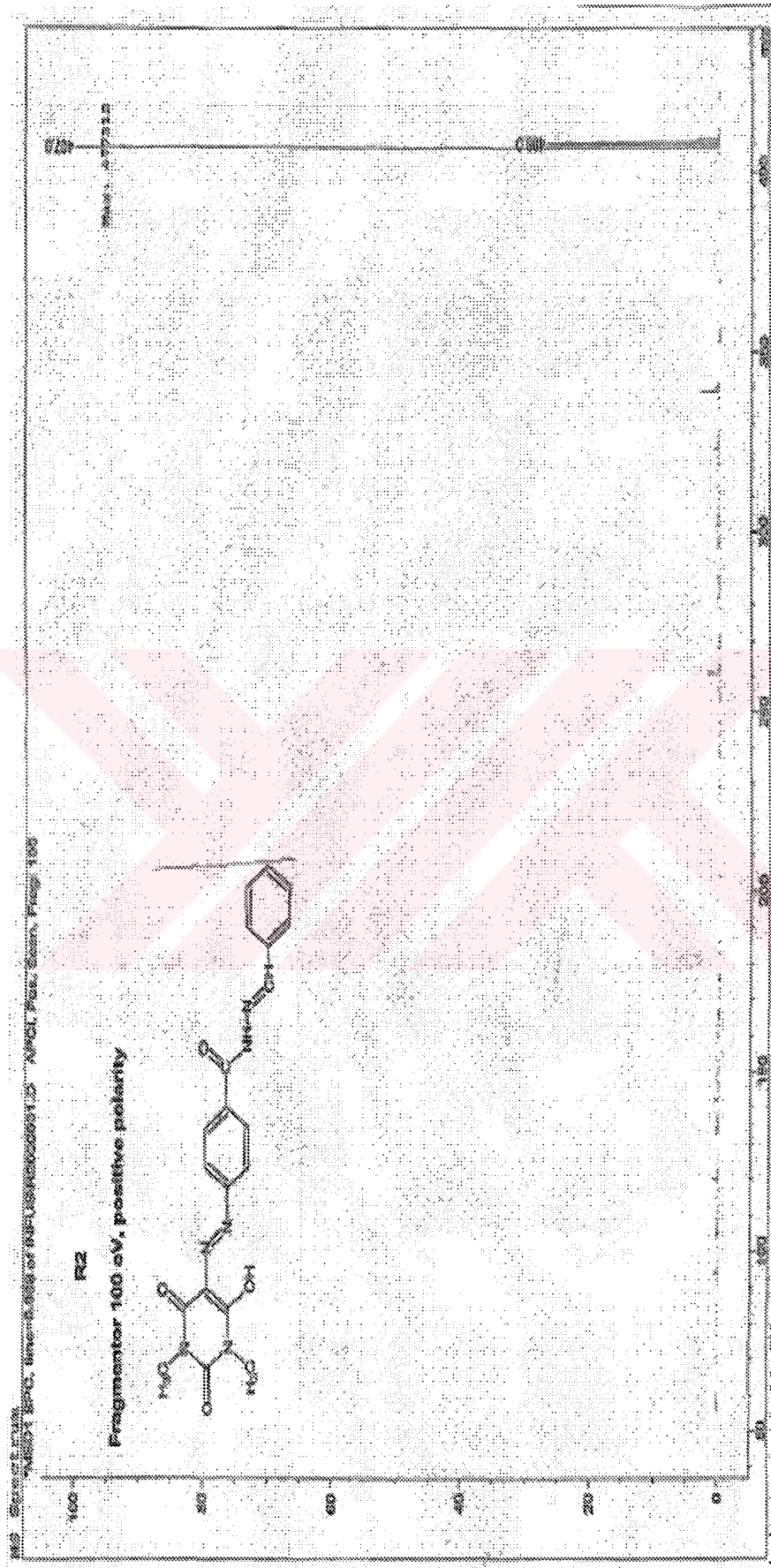


Sekil.3. Hl_3 Ligandının ^1H NMR Spektrumu

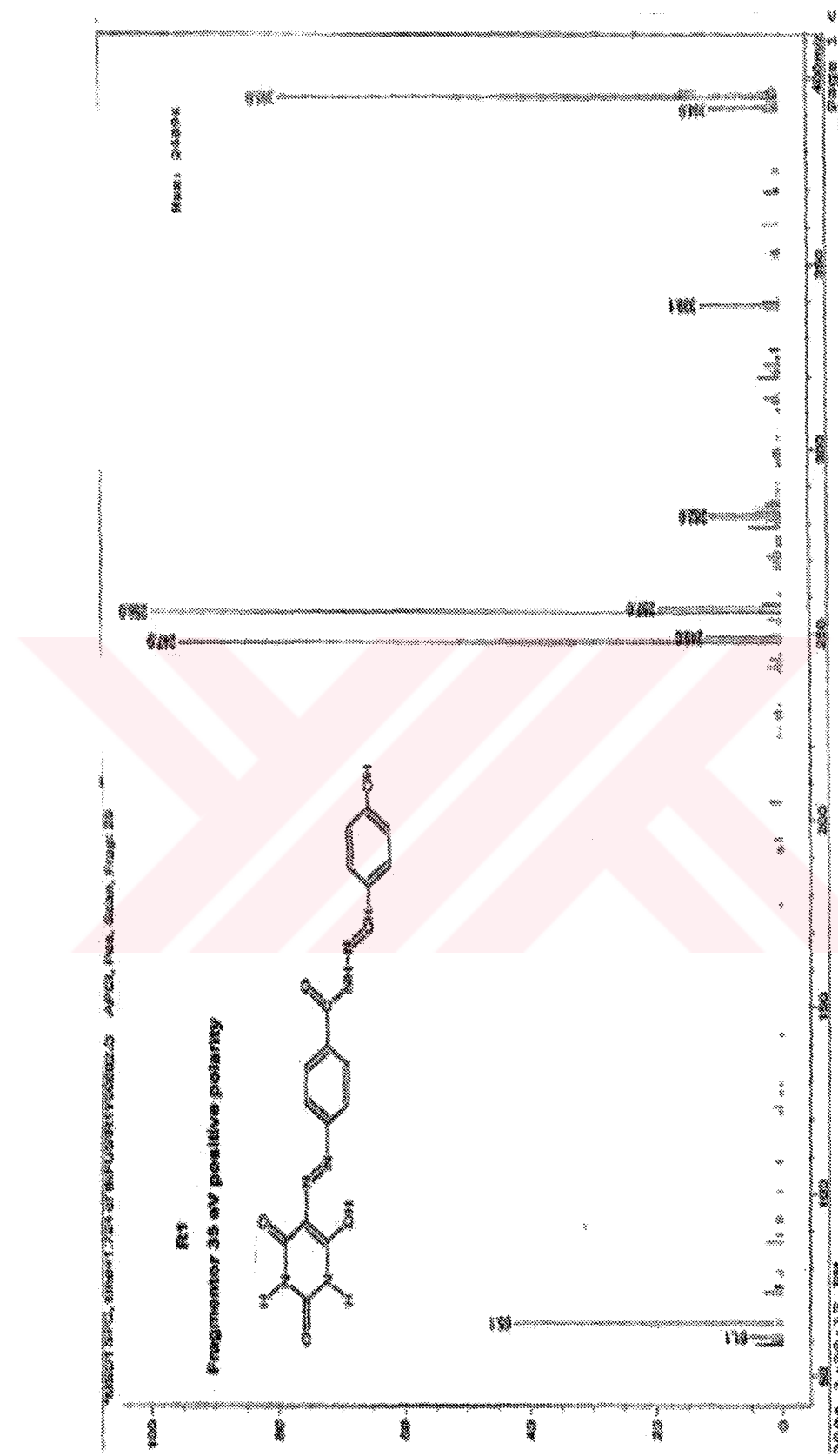


Sekil 4. HL₄ Ligandinin ^1H NMR Spektrumu

EK IV. Ligandların LC/MS Spektrumları



Şekil.1. Hl_2 Ligandının LC/ MS Spektrumu



Sekil.2. HL_3 Ligandinin LC/ MS Spektrumu